

**UNIVERSITATEA TEHNICA "GHEORGHE ASACHI" IASI
FACULTATEA DE INGINERIE CHIMICA SI
PROTECTIA MEDIULUI**

REZUMATUL TEZEI DE DOCTORAT

**Contribuții la cercetarea și dezvoltarea de noi tehnologii
pentru obținerea apei potabile din sursa Prut**

Conducător științific
Prof.dr.ing.Corneliu Oniscu

Doctorand
Ing.Dan Popovici

IASI -2011

**UNIVERSITATEA TEHNICĂ "GHEORGHE ASACHI" IAŞI
RECTORATUL**

Către

.....
.....

Vă facem cunoscut că în ziua de _____ la ora _____.

în _____, va avea loc
susținerea publică a tezei de doctorat intitulată:

**"CONTRIBUȚII LA CERCETAREA SI DEZVOLTAREA DE NOI TEHNOLOGII PENTRU
OBTINEREA APEI POTABILE DIN SURSA PRUT"**

elaborată de domnul **DAN GEORGE POPOVICI** în vederea conferirii titlului științific de
doctor.

Comisia de doctorat este alcătuită din:

- | | |
|---|-----------------------|
| - prof.univ.dr.ing. DAN CASCaval
Universitatea Tehnică "Gh.Asachi" din Iași | președinte |
| - prof.univ.dr.ing. CORNELIU ONISCU
Universitatea Tehnică "Gh.Asachi" din Iași | conducător științific |
| - prof.univ.dr.ing. ANCA IRINA GALACTION
Universitatea de Medicina și Farmacie Iasi | membru |
| - prof.univ.dr.ing. LUCIAN RADU
Universitatea Tehnică Bucuresti | membru |
| - conf.univ.dr.ing. EUGEN HOROBĂ
Universitatea Tehnică "Gh.Asachi" din Iași | membru |

Vă trimitem rezumatul tezei de doctorat cu rugământa de a ne comunica, în scris,
aprecierile dumneavoastră.

Cu această ocazie vă invităm să participați la susținerea publică a tezei de doctorat.



Prof.univ.dr.ing. **ION GIURMA**

Secretar universitate,

Ing.Cristina Nagît

Cuprins teza

ANEXA	3
PARTEA I	4
STUDII DE LITERATURA PRIVIND CALITATILE APEI, PROCEDEE SI TEHNICI DE OBTINERE A APEI POTABILE	4
Capitolul 1	5
Consideratii generale privind apele naturale	5
1.1. Surse de apa naturale si specificul calitatii lor	5
1.2 Metode de investigare a resurselor de apa	8
1.3 Compozitia fizico -chimica si calitatea apei	13
1.3.1 Compozitia fizico- chimica a apei	13
1.3.2 Criterii de definire a calitatii apei	14
1.3.4 Indicatori fizico- chimici de clasificare a componetelor apei	16
1.3.5 Indicatori organoleptici si fizici	16
1.3.6 Indicatori chimici	18
1.3.7 Indicatori biogeni	21
1.4 Poluarea apei – caracteristici si consecinte	22
1.5. Obiective si indicatori privind obtinerea apei potabile	26
1.5.1 Monitorizarea parametrilor de calitate a apei potabile	26
Capitolul 2	29
Procedee si tehnici aplicabile in obtinerea apei potabile	29
2.1 Scheme bloc, tipuri de procedee aplicabile in tratarea apei	29
2.2 Sisteme de retinere a particulelor grosiere	32
2.2.2 Presedimentarea, deznsiparea	33
2.3 Coagularea – flocularea	34
2.3.1 Scop, principii, mecanisme de coagulare si floculare	34
2.3.2 Factorii determinanti pentru procesul de coagulare- floculare	35
2.3.3 Agenti de coagulare- floculare	36
2.3.3.1 Coagularea cu saruri de aluminiu	36
2.3.3.2 Coagularea cu saruri de fier	37
2.3.4 Agenti de floculare	39
2.3.5 Determinarea dozei optime de agent coagulant- floculant	40
2.3.6 Tehnica utilizata pentru procesul de coagulare – floculare	41
2.4 Decantarea coloizoilor floculati	43
2.4.1 Tipuri de decantoare utilizate in tehnologia de tratare a apei	45
2.4.1.1 Decantoare de tip suspenional	45
2.4.1.2 Decantor de tip vertical	46
2.5 Filtrarea apei	47
2.6 Tehnici avansate de filtrare a apei	51
2.6.1 Tehnica osmozei inverse	51
2.6.2 Tehnica ultrafiltrarii (nanofiltrare)	52
2.6.3 Tehnica electrodializei	55
2.6.4 Tehnica filtrarii prin carbune activ granular	56
2.6. Dezinfectia apei	58
2.6.1 Scopul si mecanismul dezinfectarii apei	58
2.6.2 Dezinfectanti chimici cu aplicabilitate practica	59

2.6.2.1 Dezinfecția prin clorare (cu clor și derivați clorurati), tehnica utilizata.....	59
2.6.2.2 Dezinfecția cu ozon.....	64
2.6.3 Dezinfecțanti fizici.....	67
2.6.3.1 Dezinfecția cu radiatii UV	67
2.6.3.2 Dezinfecția cu radiatii nucleare	69
2.7. Stocarea apei tratate.....	70
PARTEA a II a.....	72
CONTRIBUTII LA CERCETAREA SI DEZVOLTAREA DE NOI TEHNOLOGII PENTRU OBTINEREA APEI POTABILE DIN SURSA PRUT.....	
Capitolul 3	75
3.1 Consideratii generale	75
3.2 Cercetari si studii comparative a eficacitatii reactivilor de coagulare.....	78
3.3. Concluzii in urma experimentelor comparative ale eficientei reactivilor de coagulare pe baza fier si aluminiu trivalent.....	86
3.4 Modelarea statistică a procesului de coagulare floculare	86
3.4.1 Modelarea empirica	86
3.4.2 Modelarea neuronală a procesului de coagulare-floculare a apei din sursa Prut. 111	111
3.4.3.1 Modelarea neuronală directă	119
3.4.3.2 Modelarea neuronală inversa.....	125
3.4.4. Rezultate obtinute in urma modelarii neuronale a procesului de coagulare-floculare a apei brute provenite din sursa Prut	131
3.5 Contributii la optimizarea procesului de evacuare a namului produs in urma procesului de coagulare-floculare	131
Capitolul 4	140
Contributii la studierea procesului de purificare a apei din sursa Prut.....	140
prin utilizarea carbunelui activ.....	140
4.1. Cercetari experimentale privind eficacitatea utilizarii carbonului activ in procesul tratarii apei din sursa Prut.....	140
4.2 Concluzii obtinute in urma studiului experimental al eficacitatii filtrarii apei din sursa Prut prin carbune activ	146
Capitolul 5	147
5.1 Cercetari si studii comparative a eficacitatii dezinfecțantilor pe baza de clor si dioxid de clor utilizati in dezinfecția apei din sursa Prut	149
5.2 Concluzii obtinute in urma studiului experimental al eficacitatii dezinfecțantilor pe baza de clor si dioxid de clor utilizati in tehnologia de tratare a apei din sursa Prut....	155
Capitolul 6	157
Studiul performantelor dispozitivului multi-treapta „AQUARIUS-01” in procesul de potabilizare a apei, pentru aplicatii casnice si situatii de urgența.....	157
6.1 Teste efectuate cu dispozitivul filtrant AQUARIUS-01.....	158
6.2 Concluzii obtinute in urma testarii dispozitivului Aquarius	166
Concluzii	167
Bibliografie.....	169

Prefata

Lucrarea cu titlul **“Contributii la cercetarea si dezvoltarea de noi tehnologii pentru obtinerea apei potabile din sursa Prut”** a aparut dintr-o necesitate obiectiva privind obtinerea apei potabile la standardele impuse de Uniunea Europeana, in scopul alimentarui cu o apa de calitate superioara a municipiului Iasi.

Tratarea apei constituie un lant de procese fizico-chimice, scopul fiind indepartarea eficienta a materiilor aflate in suspensie, reducerea concentratiei substanelor organice, dezinfectia apei pentru reducerea poluantilor microbiologici, corectiile organoleptice (gust, culoare, miros) utilizand carbunele activ, urmarindu-se ca in final sa se obtina apa potabila in conformitate cu legislatia romaneasca si standardele Uniunii Europene.

Lucrarea are la baza sinteza studiilor si cercetarilor efectuate in laboratorul chimic de flux, in Complexul de tratare a apei Chirita din cadrul SC Apavital SA Iasi.

Doresc sa imi exprim multumirea si recunostinta fata de domnul prof.univ.dr.ing. Corneliu ONISCU care, in calitate de conducator stiintific mi-a oferit un sprijin deosebit pe parcursul pregatirii sustinerii examenelor si referatelor de doctorat, precum si in perioada elaborarii tezei.

Multumesc conducerii SC Apavital SA Iasi pentru accesul la tehnologiile avansate implementate in Complexul Chirita, precum si tuturor celor care pe parcursul elaborarii lucrarii mi-au oferit un sprijin total si dezinteresat. Familiei mele, parintilor mei, precum si prietenilor apropiati, multumiri si recunostinta pentru intelegerea si sprijinul moral oferit.

Ing. Dan Popovici

Introducere

Tratarea apei brute in scopul de potabilizare constituie o adevarata provocare a secolului 21.

Degradarea permanenta a calitatii mediului inclusiv a apelor de suprafata si adancime au condus la dezvoltarea si implementarea de tehnologii capabile sa aduca apa bruta la calitatea de potabilitate[1].

Din nefericire sursele de apa potabila sunt infestate cu poluantri chimici, metale grele, produse petroliere, poluantri biologici, toti acestei poluantri au impus elaborarea de tehnologii performante pentru purificarea apei si a o transforma in apa potabila. Toate tehnologiile cunoscute includ fazele de filtrare, tratare chimica pentru coagularea flocularea agentilor poluantri, sterilizare cu agenti chimici Cl₂ si ClO₂, ultrafiltrare.

Romania fiind membra a Uniunii Europene a adoptat directiva EC83/1998 privind calitatea apei.

Calitatea apei potabile, conform Directivei Uniunii Europene 98/83/EC transpusa in Romania prin Legea 458/2002, modificata si completata prin Legea 311/2004, trebuie sa fie lipsita de microorganisme sau substante care, prin numar sau concentratii, constituie un pericol potential pentru sanatatea umana [14,15].

Schimbarile din ultimii ani si necesitatea alinierii la tehnicile, conceptelete si normele Uniunii Europene impun:

- stabilirea solutiilor pentru cresterea sigurantei si diminuarea riscului in statiile de tratare a apei;
- abordarea pe baze stiintifice a lucrarilor dezvoltare a statiilor de tratare a apei pentru reducerea costurilor, a consumului specific de energie;
- introducerea celor mai avansate tehnologii in procesul de tratare a apei brute.

Teza cu titlul: "Contributii la cercetarea si dezvoltarea de noi tehnologii pentru obtinerea apei potabile din sursa Prut" este structurata in doua parti distincte: un studiu de literatura privind sursele de apa, modul de investigare a surselor de apa, poluarea surselor de apa, procesul de tratare mecano-chimica a apei brute si contributii personale la cercetarea si dezvoltarea de noi tehnologii pentru obtinerea apei din sursa Prut.

Partea I - sunt prezentate sursele de apa si specificul calitatii lor, metodele de investigatie a acestor fiind oferite informatii despre standardele de analiza, metoda de investigare. Tot in cadrul capitolului I sunt prezentati indicatorii fizico-chimici si biologici cu valorile maxime admisibile in conditiile legii 458/2002, poluarea si efectele ei asupra activitatii si sanatatii colectivitatilor umane. Pentru a mentine sub control parametrii de calitate ai apei sunt prezentate metodele si tehnicile de monitorizare a acestor valori cu particularizare la municipiul Iasi.

In capitolul II, sunt prezentate procedee si tehnici aplicabile pentru obtinerea apei potabile. Sunt prezentate schemele bloc de tratare a apelor de suprafata si a celor de adancime,

modul de retinere a particulelor grosiere cu tehnica aferenta: gratare si deznisipatoare, cu variantele lor constructive. In capitolul II sunt prezentate procesele de baza in tratarea apei brute: coagularea-flocularea, decantarea coloizilor floculati, filtrarea, dezinfecția apei, stocarea apei in rezervoarele de compensare.

Paragraful 2.3 prezinta scopul, principii, mecanismele de coagulare-floculare, factorii de influenta a procesului de coagulare-floculare. Se prezinta tipurile de coagulanti, reactia lor cu apa, conditiile de reactie. Sunt prezentate tipurile de agenti floculanti, avantajelor utilizarii lor, modul de determinare a dozei de reactive coagulant precum si tehnica utilizata la injectia lor in apa cu particularizare la Complexul de tratare a apei Chirita Iasi.

Paragraful 2.4 prezinta tehnicele de decantarea a coloizilor floculati, tipurile de deantore utilizate in acest scop.

Paragraful 2.5 face referinta la filtrarea apei, sunt prezentate tipurile de filter utilizate in tratarea apei cu parametrii functionali de baza.Sunt prezentate tehnici speciale de filtrare; nanofiltrarea, osmoza inversa, electrodializa cu specificatiile tehnice de rigoare.

Paragraful 2.6 prezinta procesul de dezinfecție din lantul de tratare a apei.Sunt prezentate scopul, mecanismele de dezinfecție, dezfectati fizici si chimici cu aplicabilitate practica, avantaje si dezavantaje la utilizarea lor.

Paragraful 2.7 prezinta modul de stocare a apei potabile in rezervoarele de compensare precum si diagrama de compensare a consumului de apa cu particularizare la Complexul Chirita Iasi.

Partea a II a . Contribuții la cercetarea și dezvoltarea de noi tehnologii pentru obținerea apei potabile din sursa Prut

Prezentarea problemelor abordate în cercetările întreprinse în cadrul tezei:

In cadrul cercetarilor privind dezvoltarea de noi tehnologii pentru obtinerea apei potabile din sursa Prut, au fost abordate urmatoarele aspecte:

- Studii comparative a eficacității reactivilor de coagulare pe baza de aluminiu și fier trivalent

In cadrul acestui capitol au fost studiate:

- Eficacitatea reactivilor de coagulare pe baza de aluminiu trivalent sub forma de sulfat de aluminiu, polihidroxi clorura de aluminiu, polihidroclorura de aluminiu,
- Eficacitatea reactivilor pe baza de fier trivalent sub forma de clorura ferica,
- Optimizarea procesului de coagulare-floculare prin modelare matematica, neuronala directa si inversa.

- Contribuții la optimizarea procesului de evacuare a namolului produs în urma procesului de coagulare-floculare

S-au abordat urmatoarele aspecte:

- Inlocuirea tehnologiei vechi cu una performanta in procesul de eliminare a namolului produs in decantoare,
- Studiul avantajelor utilizarii tehnicii ultrasonice in procesul de eliminare a namolului din decantoare.

- Contribuții la studierea procesului de purificare a apei din sursa Prut prin utilizarea carbunelui activ

S-au studiat urmatoarele aspecte:

- Eficacitatea filtrarii apei prin carbune activ granular,
- Eficacitatea tratarii apei cu pudra de carbune activ.

- Contribuții la studiul eficacității agentilor de dezinfecție în tehnologia de tratare a apei din sursa Prut

Au fost abordate aspectele:

- Eficacitatea dezinfecției apei cu clor gazos, avantaje si dezavantaje,
- Eficacitatea dezinfecției cu dioxid de clor, avantaje si dezavantaje.

- Studiul performanțelor dispozitivului multi-treapta „Aquarius-01” în procesul de potabilizare a apei, pentru aplicații casnice și situații de urgență

Au fost studiate urmatoarele aspecte:

- Capacitatea dispozitivului de corecție a parametrilor fizico-chimici ai apei in absenta unui coagulant chimic,
- Eficacitatea de retenere a unor poluanți din apa, din sursele de apa freatica.

Rezultatele obtinute in cadrul cercetarii constituie subiectul a cinci lucrari din care trei sunt publicate in reviste cotate ISI, una cu aviz de publicare, un brevet de inventie si doua comunicate in sesiuni stiintifice la forumuri internationale, dupa cum urmeaza:

1. Popovici D, Oniscu C.,” Disinfection reagents in Prut river treatment for drinking water production” *Environmental Engineering and Management Journal*, 9,(3), p: 435-441, 2010
2. Popovici D, Oniscu C., Diaconescu R., Alina TrofinA., Bibere N.,”Modeling of the Coagulation, Flocculation and Pre-oxidation processing of the Prut River Water”, *Romanian Biotechnological Letters*, 16, (6), p:6585, 2011
3. Popovici D,Oniscu C., ” Coagulation reagents applied in treating from Prut waters”, *Romanian Biotechnological Letters* , **in press**, 2011.
4. Popovici D, Oniscu C.,” Advantages of using active carbon in the treating technology of the Prut water”, *Romanian Biotechnological Letters*, 16,(5), p: 6489,2011.
5. Popovici D, Oniscu C., Trofin A., “Performance Study for the „Aquarius-01” Multi-step Device, in the process of Obtaining Drinking Water for household applications and Emergency Situations”, *Buletinul Institutului Politehnic din Iasi*, Publicat de Universitatea Tehnica „Gheorghe Asachi”din Iasi,Sectia Chimie si Inginerie Chimica, Tom: LVII(LXI), fascicola: 3, 2011.
- 6.Popovici D, Oniscu C.,”Procedeu de evacuare a namolului din decantoarele suspensionale de obtinere a apei potabile”, cerere brevet de inventie nr.: A/00633 din 04.07.2011

Lucrari comunicate:

7. Popovici D,Chirica C.” Tehnologii moderne de tratarea apei in Complexul Chirita din cadrul Apavital Iasi” *EXPO-APA,Forumul international al apei, Asociatia Romana a Apei*, Bucuresti, 13-15 iunie, 2009.
8. Popovici D, Oniscu C., Chirica C., ” Tehnologii moderne in procesul de dezinfecție a apei tratate din sursa Prut in cadrul Complexului de tratare Chirita Iasi ”*Forumul international al apei, Asociatia Romana a Apei*, Bucuresti, 13-15 iunie, 2011.

Lucrarea este insotita de un numar de de 57 tabele „,103 figuri si 156 referinte bibliografice, dintre care 8 se refera la lucrările științifice mentionate mai sus..

3.2 Cercetari si studii comparative a eficacitatii reactivilor de coagulare

Apa ce alimenteaza municipiul Iasi provine din surse de adancime si de suprafata. Apa de suprafata provine din raul Prut si lacul Chirita (lac predecantor natural) si este prelucrata in Complexul de tratare a apei Chirita.

Pentru a aduce apa bruta din sursa Prut la calitatea de potabilitate in Complexul Chirita au fost implementate tehnologii moderne de tratare a apei ce respecta directiva EC83/1998.

In figura 1 este redată schema bloc de alimentare cu apa bruta a Complexului de Tratare Chirita (direct din sursa Prut sau din sursa Prut prin lacul predecantor Chirita).

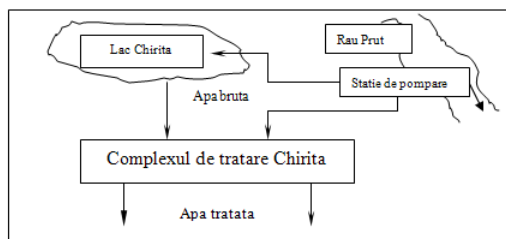


Figura 1. **Modul de alimentare cu apa bruta a Complexului Chirita**

Tehnologia implementata este capabila sa prelucreze apa provenita din sursa Prut sau din Prut prin predecantorul natural, lacul Chirita. Procesul de tratare a apei este controlat intergral de un computer de proces ce ruleaza o aplicatie de tip SCADA.

Procesele de coagulare si floculare sunt metode de tratare a apelelor, ce realizeaza eliminarea particulelor coloidale din apele brute, prin adaugarea de agenti chimici, cu proprietati floculante, aglomerarea particulelor coloidale si respectiv, separarea lor ulterioara prin sedimentare, filtrare. In clasa coloizilor impurificatori intra o serie de substante cu caracteristici hidrofile sau hidrofobe: substante organice si anorganice, de provenienta naturala sau sintetica ce se comporta diferit fata de molecula apei. Aceste substante, datorita faptului ca au dimensiuni mici: $0.03 - 0.01\mu\text{m}$, au o greutate specifica mica dar o suprafata specifica mare, sedimenteaza foarte greu sub actiunea campului gravitational.

Reactivii pe baza de Al^{+3} , sunt printre cei mai utilizati agenti, in procesul de tratare a apei potabile, dar sunt suspectati de Organizatia Mondiala a Sanatatii ca ar fi potentiali generatori ai sindromului Alzenheimer. Din acest motiv se tinde spre inlocuirea acestora cu saruri de Fe^{+3} , in special sub forma de clorura ferica.

Din gama reactivilor de coagulare – floculare, cei mai utilizati in tehnologia de tratare a apei sunt: sulfatul de aluminiu, clorura de aluminiu, aluminatul de sodiu, clorura ferica

compusi anorganici prepolimerizati, Dintre acestia, aplicabilitate tehnologica larga, o au sarurile trivalente de aluminiu si fier, de tipul, clorura ferica, sulfat de aluminiu, polimeri pe baza de aluminiu (polihidroxi clorura de aluminiu) cunoscuti sub denumirea comerciala de Sachtoklar, Bopac, Kemwater Pax-18. Pentru testarea reactivilor de coagulare in procesul de tratare a apei din sursa Prut s-a efectuat initial analiza din punct de vedere fizic si chimic a apei brute pentru a stabili valorile parametrilor de operare la intrarea in zona de prelucrare, iar valorile obtinute sunt prezentate in tabelul 1.

Reactivii de coagulare-floculare trebuie sa indeplineasca conditiile unei operari cu costuri accesibile, toxicitatea sa fie cat mai redusa, iar parametrii de operare a procesului de coagulare-floculare sa cuprinda oarie de valori cat mai larga.

Tabel 1. *Analiza fizico-chimica a apei brute din sursa Prut*

<u>Parametru</u>	<u>Unitate de masura</u>	<u>Valoare</u>
Temperatura	°C	22°C
pH		8.34
Duritate totala	°d	16.39
Duritate temporara	°d	9.72
Duritate permanenta	°d	6.67
Calcii	°d	11.92
Magneziu	°d	4.47
Al ³⁺ total	ppm ca ion	0.01
NO ₃ ⁻	ppm ca ion	4.00
NO ₂ ⁻	ppm ca ion	0.03
Oxigen dizolvat	ppm	6.40
Turbiditate	NTU	22.2
Conductivitate	µS/cm	419.00
CCOCr	mg/L	13.8
Reziduul fix	mg/L	510
Suspensiile	mg/L	312
CBO ₅	mg/L	1.6

Cercetarile de laborator au avut ca scop determinarea dozei optime de agent de coagulare-floculare pe baza de aluminiu si fier trivalent [134].

Eficacitatea sulfatului de aluminiu si a polihidroxi clorurii de aluminiu (denumirea comerciala BOPAC) s-a realizat prin raportare la apa bruta prelevata in punctul de intrare in Complexul de tratare „Chirita”.

Sulfatul de aluminiu, unul dintre cei mai utilizati agenti de coagulare se prezinta sub forma anhidra. Valoarea pH-ului apei la care se recomanda utilizarea lui este intre 5.5 – 7.0, valoarea medie utilizata este intre 1 – 100 mg/L, valoarea optima se determina in laborator prin metoda jar-test, cu o solutie de 10% sulfat de aluminiu.

In cercetari s-a folosit o solutie de BOPAC de concentratie 4 % si o solutie Al₂(SO₄)₃ de 10%; s-a urmarit performanta celor doi reactivi in procesul de coagulare prin indicele de

turbiditate, continutul in substante organice si continutul de aluminiu rezidual, iar datele obtinute sunt prezentate in tabelul 2.

Tabel 2. Eficacitatea sulfatului de aluminiu si a polihidroxi clorurii de aluminiu (BOPAC) in procesul de tratare a apei din sursa Prut

		Coagulare cu sulfat de aluminiu					Coagulare cu Polihidroxi clorura de aluminiu				
	Apa bruta	1	2	3	4	5	1	2	3	4	5
Doza de coagulant, in substanta activa, (mg/L)	--	0.95	1.4	1.9	2.3	2.8	0.95	1.4	1.9	2.3	2.8
Turbiditate (NTU)	34	20	13.6	11	8.7	8.3	14.4	4.5	6.4	8.4	8.6
Oxidabilitate ($KMnO_4$) mg/L	12.96	9.80	9.16	8.22	7.58	7.27	8.53	5.69	6.00	6.32	6.32
pH	8.00	7.65	7.58	7.45	7.40	7.22	7.93	7.82	7.80	7.78	7.76
Aluminiu rezidual in apa tratata, (mg/L)	--	0.056	0.083	0.112	0.136	0.166	0.06	0.090	0.101	0.121	0.135

Din analiza datelor prezentate in tabelul 2 si figura 2 rezulta ca la tratarea apelor din sursa Prut cu sulfat de aluminiu, se reduce turbiditatea si continutul de substante organice, efecte ce se amplifica o data cu cresterea concentratiei de agent coagulant, astfel incat la o doza de agent coagulant de 2.8 mg/L turbiditatea scade cu 75 – 76%, continutul de substante organice cu 42 – 44%, dar in acelasi timp creste concentratia reziduala a aluminiului in apa tratata ajungand la 0.166 mg/L

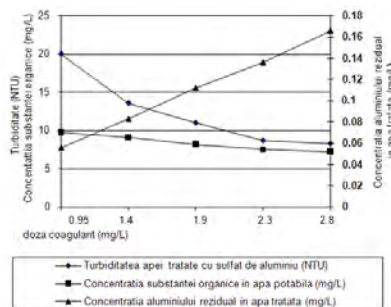


Figura 2. Variatia turbiditatii, substantei organice si a aluminiului rezidual la tratarea apei din sursa Prut cu sulfat de aluminiu

La tratarea apei din sursa Prut cu polihidroxi clorura de aluminiu in aceleasi conditii ca si sulfatul de aluminiu, procesul de coagulare este mai rapid, iar la concentratia de 1.4mg/L, polihidroxi clorura de aluminiu, turbiditatea se reduce cu 85-86%, continutul de substante organice se reduce cu peste 60%, concentratia aluminiului rezidual este de 0.090 mg/L. Datele experimentale obtinute conduc la ideea unui proces de pseudo-echilibru ceea ce impune

determinarea si utilizarea concentratiei optime de polihidroclorura de aluminiu in procesul de tratare a apelor brute (figura 3 si tabelul 2).

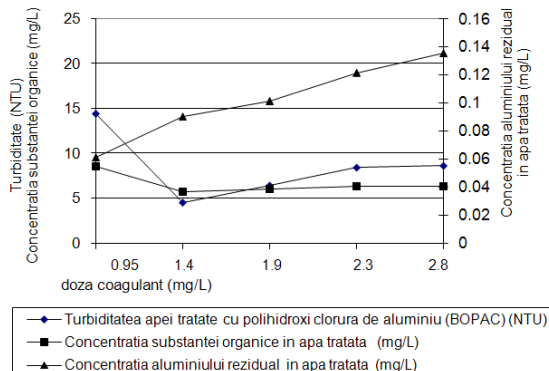


Figura 3. *Variatia turbiditatii, a continutului de substante organice si aluminiului rezidual la apa tratata din sursa Prut cu reactivul de coagulare BOPAC (polihidroxi clorura de aluminiu)*

In continuare s-a experimentat eficacitatea policlorurii de aluminiu in procesul de tratare a apelor din sursa Prut in comparatie cu sulfatul de aluminiu iar rezultatele sunt redate in tabelul 3 si figura 4.

Tabel 3. *Eficacitatea sulfatului de aluminiu si a policlorurii de aluminiu (Sachtoclar 46.24) in procesul de tratare a apei din sursa Prut*

Parametru	Apa bruta	Coagulare cu Sachtoclar 46.24 (policlorura de aluminiu)					Coagulare cu Sulfat de aluminiu				
		1	2	3	4	5	1	2	3	4	5
Doza coagulant (mg/L)		0.03	0.05	0.06	0.07	0.08	0.17	0.2	0.3	0.4	0.5
Turbiditate (NTU)	39.40	8.18	7.25	6.40	3.20	2.6	37	20.4	17.3	14.7	10.2
Oxidabilitate (mg/L KMnO ₄)	14.22	8.12	7.90	7.26	6.92	6.32	13.91	13.27	12.6	11.69	11.08
pH	8.05	7.14	7.02	6.94	6.83	6.75	8.00	7.92	7.88	7.85	7.80
Aluminiu rezidual in apa tratata(mg/L)	--	0.67	0.075	0.080	0.088	0.096	0.087	0.103	0.12	0.143	0.153

Datele din tabelul 3 si figura 4 evidentaaza faptul ca la utilizarea policlorurii de aluminiu are loc un intens proces de coagulare simultan cu reducerea turbiditatii si a continutului de substanta organica, mult superioare celor obtinute la tratarea aceleasi ape cu sulfat de aluminiu.

Dar si in acest caz se acumuleaza aluminiu rezidual in apele tratate pana la valori de 0.096 mg/L fapt care ne-a condus la ideea continuarii cercetarilor privind coagularea prin utilizarea clorurii ferice,

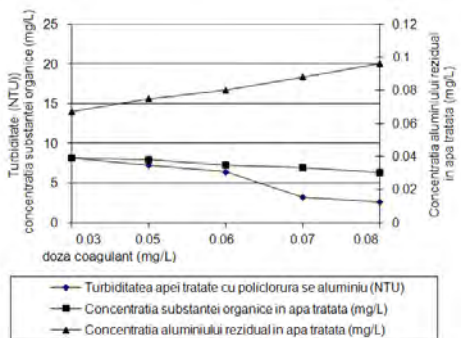


Figura 4. *Variatia turbiditatii , a continutului de substance organice si aluminiului rezidual in apa tratata din sursa Prut cu reactivul de coagulare policolorura de aluminiu (Sachtoclar46.24)*

Cercetarile privind doza si eficacitatea clorurii ferice in tehnologia de tratare a apei din sursa Prut, s-au realizat in urmatoarele conditii tehnice :

Agent coagulant utilizat: clorura ferica, 0,450 mg/L, agent flocculant: poliacrilamida tip PE FLOERGER AN 923 SEP, timp de floculare: 5 minute, turbiditatea s-a masurat dupa sedimentare la 5 si 20 minute.

Viteza de rotatie a agitatorului in faza de omogenizare: 250 rpm iar viteza de rotatie a agitatorului in faza de flokulare: 25 rpm.

Eficacitatea procesului de coagulare a substantelor dispersate in apele provenite din sursa Prut cu clorura ferica, in prezenta si absenta agentilor flocculatori, s-a urmarit prin determinarea turbiditatii la 5 si 20 de minute dupa realizarea tratamentelor iar rezultatele obtinute sunt redate in tabelele 4-6 si figura 5.

Datele din tabelul 4 evidenteaza ca turbiditatea scade odata cu cresterea dozelor de clorura ferica, valorile minime obtinute la o doza de coagulant de 15.00 mg/L fiind de 2.8 NTU (la 5 minute) si 2.00 NTU (la 20 minute).

Aceste valori indica faptul ca scaderea turbiditatii este conditionata de cresterea dozei de agent de coagulare, ceea ce determina costuri mari de productie.

Tabel 4. *Variatia turbiditatii la tratarea apelor din sursa Prut cu clorura ferica in diverse doze in absenta agentilor floculanti*

Parametru	Unitate masura	Proba					
		Apa bruta	1	2	3	4	5
Doza coagulant	mg/L	-	5	7.5	10	12.5	15.0
Doza floculant	mg/L	-	0.0	0.0	0.0	0.0	0.0
Turbiditate dupa 5 minute	NTU	77.0	15.4	6.70	6.10	3.80	2.80
Turbiditate dupa 20 minute	NTU	65.0	12.0	5.60	5.55	3.18	2.00
Temperatura	°C	23.0	22.6	22.3	22.1	22.2	22.6
pH	-	8.15	7.62	7.38	7.23	7.12	7.00
Conductivitate	µS/cm	600	600	620	610	620	620
Foculare	1 - 5	5	3	2	2	2	1
Sedimentare	1 - 5	5	3	2	2	2	1

Din aceste motive s-au realizat, in continuare studii privind scaderea turbiditatii in prezenta poliacrilamidei, ca agent floculant, urmarindu-se stabilirea unui raport optim intre scaderea turbiditatii, cantitatile de agenti de coagulare/foculare- cost de productie. Influenta cantitatilor de agent de coagulare in prezenta unei cantitati fixe de agent floculant (0.25mg/L poliacrilamida) sunt redate in tabelul 5. Din analiza datelor din tabelul 5 rezulta ca prezenta agentului floculant favorizeaza scaderea turbiditatii. Valoarea minima de 2.30 NTU (la cinci minute) si de 2.00 NTU la 20 de minute se obtine cu 12.5 mg/L agent de coagulare si 0.25 mg/L agent foculare.

Tabel 5. *Variatia turbiditatii apelor din sursa Prut la tratarea cu diverse doze de clorura ferica in prezenta unei cantitati fixe de poliacril amida*

Parametru	Unitate masura	Proba					
		Apa bruta	1	2	3	4	5
Doza coagulant	mg/L	-	2.5	5	7.5	10	12.5
Doza floculant	mg/L	-	0.25	0.25	0.25	0.25	0.25
Turbiditate dupa 5 minute	NTU	71.0	14.3	10.5	7.70	4.80	2.30
Turbiditate dupa 20 minute	NTU	61.5	13.5	8.30	6.50	4.10	2.00
Temperatura	°C	23.4	23.8	23.4	23.2	23.2	23.6
pH - value	-	8.11	7.66	7.59	7.38	7.30	7.15
Conductivitate	µS/cm	620	620	620	620	630	650
Foculare	1 - 5	5	4	3	2	2	1
Sedimentare	1 - 5	5	4	3	2	2	1

In continuare s-a urmarit influenta cantitatilor de agent de foculare, in prezenta unei cantitati fixe de agent coagulant, 7.5 mg/L clorura ferica, asupra turbiditatii, rezultatele fiind prezentate in tabelul 6. Din analiza datelor experimentale redate in tabelul 6 rezulta ca

turbiditatea scade la cresterea dozei de agent de floculare, dar scaderea are loc pana la valoarea de 0.125 mg/L, dupa care se remarca faptul ca turbiditatea creste odata cu cresterea dozei de agent flocculant desi procesul de floculare este mai intens.Coreland datele experimentale redate in tabelul 5 se poate afirma ca turbiditatea este favorizata de cresterea dozei de agent coagulant pana la valoarea de 12.5mg/L si de cresterea dozei de agent flocculant pana la valoarea de 0.125mg/L, valori ce asigura costuri minime de productie. In ultima parte a experimentelor realizate s-a urmarit influenta timpului asupra procesului de coagulare/floculare, rezultatele fiind prezentate in figura 5.

Tabel 6. *Variatia turbiditatii la tratarea apelor din sursa Prut cu doza fixa de clorura ferica si doza variabila de poliacrilamida*

Parametru	Unitate masura	Proba					
		Apa bruta	1	2	3	4	5
Doza coagulant	mg/L	-	7.5	7.5	7.5	7.5	7.5
Doza flocculanti	mg/L	-	0.0625	0.125	0.25	0.375	0.50
Turbiditate dupa 5 minute	NTU	72.0	7.30	6.6	7.6	7.60	11.0
Turbiditate dupa 20 minute	NTU	60.3	7.1	5.7	5.8	5.6	6.7
Temperatura	°C	24.2	23.8	24.1	23.9	23.8	23.8
pH	-	8.12	7.40	7.42	7.38	7.38	7.4
Conductivitate	µS/cm	620	620	620	620	620	620
Floculare	1 - 5	5	4	2	1	1	1
Sedimentare	1 - 5	5	2	1	3	3	3

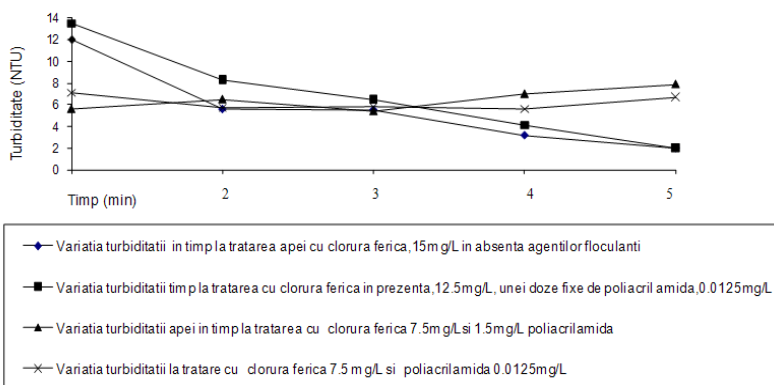


Figura 5. *Variatia turbiditatii in timp pentru diverse conditii de experimentare*

3.3 Concluzii in urma experimentelor comparative ale eficientei reactivilor de coagulare pe baza de fier si aluminiu trivalent

Rezultatele experimentale comparative ale eficacitatii reactivilor de coagulare pe baza de saruri trivaleente de fier si aluminiu utilizate in tratarea apelor brute din sursa Prut, conduc la urmatoarele concluzii :

- Sulfatul de aluminiu si polihidroclorura de aluminiu (BOPAC si Sachtoclars 46.24), reduc considerabil turbiditatea apei brute si a continutului de substante organice din sursa Prut.
- Policlorura de aluminiu si polihidroxi clorura de aluminiu genereaza o reducere a turbiditatii superioare sulfatului de aluminiu la aceeasi doza de substanta activa.
- In apele tratate cu polihidroxi clorura de aluminiu si policlorura de aluminiu continutul de aluminiu rezidual este mai mic decat in cazul utilizarii sulfatului de aluminiu.
- Studiul experimental comparativ intre reactivii trivalenti de aluminiu si fier utilizati in tratarea apei din sursa Prut, evidentaaza faptul ca dozele de clorura ferica utilizate sunt mai mici decat cele pe baza de aluminiu, in aceeasi conditie de operare.
- Pentru aceeasi conditie de operare dozele de clorura ferica utilizate sunt mai mici fata de cele pe baza de aluminiu, iar scaderea turbiditatii si a continutului de substante organice este mai intens.

3.4 Modelarea statistica a procesului de coagulare floculare

Pentru obtinerea modelelor matematice ale proceselor studiate si a informatiilor necesare asupra factorilor semnificativi ai acestora este necesara o investigatie sistematica, eficienta si economica, ceea ce se realizeaza prin utilizarea metodelor de planificare a experimentelor, cunoscute in literatura de specialitate sub denumirea de Experimental design sau Design of Experiment[137].

Pe baza rezultatelor experimentale si a consideratiilor teoretice privind procesul de coagulare-floculare, s-a ales ca si criteriu de optimizare valoarea turbiditatii (y_e). In continuare, s-a stabilit ca factorii, variabilele independente cu influenta semnificativa asupra procesului sunt: cantitatea de clorura ferica, reactivul coagulant, (x_1), cantitatea poliacril amida, reactivul floculant (x_2) si cantitatea de dioxid de clor, reactivul preoxidant, (x_3). In vederea modelarii statistice, s-a stabilit, pentru fiecare factor in parte, domeniul de determinare, a centrului experimentului precum si pasul de variatie, luand in considerare restrictii de realizabilitate, tehnologice si tehnice ale procesului[137]. Matricea experimentală a programului este prezentata in tabelul 7.

Principiul metodei de estimare (aproximare) il constituie regresia liniara multipla (MLR). Aceste date sunt prezentate in tabelul 8.

Tabel 7. Matricea experimentală a programului

Nr. Det.	x_0	x_1	x_2	x_3	x_1x_2	x_1x_3	x_2x_3	x_1^2	x_2^2	x_3^2	y
1	1	1	1	1	1	1	1	1	1	1	y_1
2	1	-1	1	1	-1	-1	1	1	1	1	y_2
3	1	1	-1	1	-1	1	-1	1	1	1	y_3
4	1	-1	-1	1	1	-1	-1	1	1	1	y_4
5	1	1	1	-1	1	-1	-1	1	1	1	y_5
6	1	-1	1	-1	-1	1	-1	1	1	1	y_6
7	1	1	-1	-1	-1	-1	1	1	1	1	y_7
8	1	-1	-1	-1	1	1	1	1	1	1	y_8
9	1	1,682	0	0	0	0	0	2,83	0	0	y_9
10	1	1,682	0	0	0	0	0	2,83	0	0	y_{10}
11	1	0	1,682	0	0	0	0	0	2,83	0	y_{11}
12	1	0	1,682	0	0	0	0	0	2,83	0	y_{12}
13	1	0	0	1,682	0	0	0	0	0	2,83	y_{13}
14	1	0	0	1,682	0	0	0	0	0	2,83	y_{14}
15	1	0	0	0	0	0	0	0	0	0	y_{15}
16	1	0	0	0	0	0	0	0	0	0	y_{16}
17	1	0	0	0	0	0	0	0	0	0	y_{17}
18	1	0	0	0	0	0	0	0	0	0	y_{18}
19	1	0	0	0	0	0	0	0	0	0	y_{19}
20	1	0	0	0	0	0	0	0	0	0	y_{20}

Tabel 8. Domeniile si pasii de variatie pentru variabilele independente

Factorul	Cod	Valorile de baza si extreme pentru parametri			Pasul de variatie
		Minim (-1)	Baza (0)	Maxim (+1)	
Cantitatea de agent coagulant (x_1), (mg/L)	X_1	2.5	7.5	12.5	5
Cantitatea de agent floculant (x_2), (mg/L)	X_2	0.20	0.35	0.5	0.15
Cantitatea de agent preoxidant, (x_3), (mg/L)	X_3	0.10	0.20	0.30	0.1

Pentru calculul coeficientilor de regresie s-a realizat un program compus central rotabil pentru trei variabile independente pentru a efectua numarul minim de experiente in raport cu numarul de coeficienti de determinat. S-au afectuat 20 de experiente, dintre care 6 in centrul experimentului. Matricea experimentalui si a rezultatelor privind scaderea turbiditatii sunt prezentate in tabelul 9

Tabel 9. Matricea experimentalului

Exp No	x_1	x_2	x_3	ye
1	-1	-1	-1	13.5
2	1	-1	-1	2.25
3	-1	1	-1	11.85
4	1	1	-1	1.96
5	-1	-1	1	10.61
6	1	-1	1	2.05
7	-1	1	1	11.72
8	1	1	1	3.88
9	-1,682	0	0	18
10	1,682	0	0	1.41
11	0	-1,682	0	5.37
12	0	1,682	0	5.99
13	0	0	-1,682	6.11
14	0	0	1,682	6.09
15	0	0	0	7.11
16	0	0	0	6.12
17	0	0	0	6.09
18	0	0	0	6.12
19	0	0	0	6.1
20	0	0	0	6.12

Datele experimentale obtinute s-au prelucrat cu software-ul specializat MODDE. Pentru analiza caracteristicilor variabilelor sub aspectul tendintei centrale, al imprastierii si formei distributiei, aplicatia MODDE furnizeaza statisticile descriptive prezентate in tabelul 10

Tabel 10 *Statistici descriptive furnizate de aplicatia MODDE*

	ye
Min	1.41
Max	18
Mean	6.9225
Q(25%)	4.625
Q(75%)	8.86
Median	6.105
Std. Dev.	4.25925
Min/Max	0.0783333
N	20

Rezultatele experimentale sunt concentrate in jurul mediei indicand variatii slabe, ceea ce face posibila stapanirea procesului studiat si care le-a generat si sunt prezентate in figura 6 sub forma histogramei dispersiei mici.

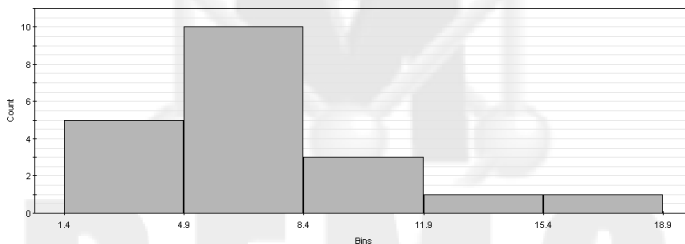


Figura 6. *Histograma dispersiei mici*

In tabelul 11, este prezentata matricea de corelatie. Se observa de aici intensitatea legaturilor dintre toate perechile de variabile.

Tabel 11. *Matricea de corelatie*

	x1	x2	x3	x1*x1	x2*x2	x3*x3	x1*x2	x1*x3	x2*x3	ye
x1	1	0	0	0	0	0	0	0	0	-0.953817
x2	0	1	0	0	0	0	0	0	0	0.0297733
x3	0	0	1	0	0	0	0	0	0	-0.0194371
x1*x1	0	0	0	1	-0.0904184	-0.0904184	0	0	0	0.25563
x2*x2	0	0	0	-0.0904184	1	-0.0904184	0	0	0	-0.0645309
x3*x3	0	0	0	-0.0904184	-0.0904184	1	0	0	0	-0.0311229
x1*x2	0	0	0	0	0	0	1	0	0	0.0396103
x1*x3	0	0	0	0	0	0	0	1	0	0.0902659
x2*x3	0	0	0	0	0	0	0	0	1	0.092932
ye	-0.953817	0.0297733	-0.0194371	0.25563	-0.0645309	-0.0311229	0.0396103	0.0902659	0.092932	1

Reprezentarea grafica a corelatiilor tabelate mai sus este redata in figura 7. Instrumentul de analiza a corelatiei se foloseste pentru a examina fiecare pereche de variabile de masurare si a determina daca cele doua variabile de masurare tind sa se influenteze reciproc adica, daca valorile mari ale unei variabile tind sa poata fi asociate cu valorile mari ale celeilalte variabile (corelatie pozitiva), daca valorile mici ale unei variabile tind sa poata fi asociate cu

valorile mici ale celeilalte variabile (corelatie negativa) sau daca valorile celor doua variabile tind sa fie necorelate (corelatie aproximativ nula).

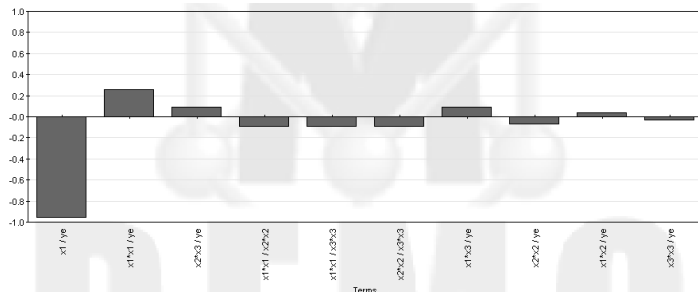


Figura 7. Reprezentarea corelatiei liniare dintre factori si raspuns

Pe baza rezultatelor furnizate de aplicatia MODDE s-a considerat ca ecuatia de regresie care reda cel mai bine $y_e(x_1, x_2, x_3)$ este de forma :

$$ye = b_0 + b_1x_1 + b_2x_2 + b_3x_3 + b_{11}x_1^2 + b_{22}x_2^2 + b_{33}x_3^2 + b_{12}x_1x_2 + b_{13}x_1x_3 + b_{23}x_2x_3 \quad (1)$$

Calculul coeficientilor ecuatiei de regresie, s-a realizat cu metoda regresiei liniare multiple. Sumarul aproximarii MLR se prezinta in figura 8 si tabelul 12.

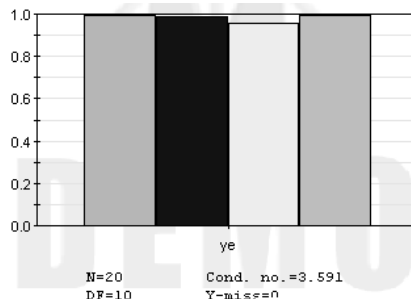


Figura 8. Indicatorii statistici pentru aproximarea MLR:

Tabel 12. Sumarul aproximarii MLR

	R2	R2 Adj.	Q2	SDY	RSD	N	Model Validity	Reproducibility
ye	0.996611	0.99356	0.988921	4.25925	0.341793	20	0.953647	0.990604
N = 20	Cond. no. =	3.591						
DF = 10	Y-miss =	0						

In tabelul 12, sunt prezentati coeficientii modelului cu intervalele de incredere 95% corespunzatoare.

Tabel 13. *Coeficientii modelului*

ye	Coeff. SC	Std. Err.	P	Conf. int(t)
Constant	6.27627	0.139401	7.02974e-013	0.310601
x1	-4.79156	0.0924837	1.73611e-013	0.206065
x2	0.149569	0.0924837	0.136897	0.206065
x3	-0.0976432	0.0924837	0.315904	0.206065
x1*x1	1.21441	0.0900184	9.64372e-008	0.200572
x2*x2	-0.20829	0.0900184	0.0432226	0.200572
x3*x3	-0.0598339	0.0900184	0.521284	0.200572
x1*x2	0.26	0.120842	0.0569137	0.26925
x1*x3	0.592499	0.120842	0.000620254	0.26925
x2*x3	0.61	0.120842	0.000500775	0.26925
N = 20	Q2 = 0.989	Cond. no. =	3.591	
DF = 10	R2 = 0.997	Y-miss =	0	
	R2 Adj. = 0.994	RSD =	0.3418	
		Conf. lev. =	0.95	

Revizuirea modelului s-a realizat prin analiza ANOVA. In diagrama din figura 9, se prezinta pentru comparatie, abaterea standard a regresiei (modelului) si abaterea standard a reziduurilor. Modelele bune prezinta o prima bară (abaterea standard a regresiei) mult mai mare decat bară a treia, abaterea standard a reziduurilor pentru limita superioara a intervalului de incredere. Concluzia este ca modelul analizat este bun.

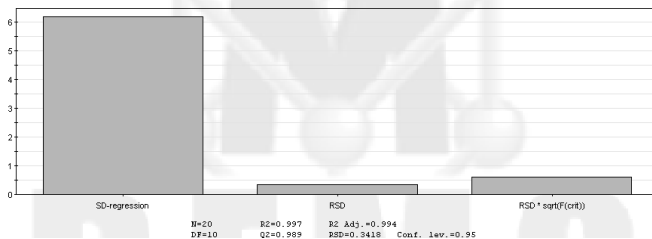


Figura 9. *Diagrama ANOVA*

Pe baza rezultatelor analizei efectuate pana aici, a rezultat ca modelul matematic pentru procesul studiat este:

$$ye = 6,27627 - 4,79156x_1 + 1,21441x_1^2 - 0,20829x_2^2 + 0,592499x_1x_3 + 0,61x_2x_3 \quad (2)$$

Din examinarea coeficientilor modelului matematic in domeniul de valori ale factorilor luati in considerare, s-au obtinut urmatoarele informatii:

- Concentratia reactivului de coagulare, x_1 , influenteaza de 3,94 ori mai puternic ye decat x_1^2 ;
- ye scade la cresterea lui x_1 ;
- cresterea lui x_2^2 micsoreaza ye ;
- ye creste la cresterea lui x_1x_3 si x_2x_3 .

Valoarea 0,988921 indica un model foarte bun cu o buna putere de predictie.

- Abaterea standard, SDY , are o valoare acceptabila de 4,25925.
- Abaterea standard reziduala, $RSD = 0,341793$ este mica.

Valorile reproductibilitati si valabilitatii modelului analizat, apropriate de unitate, indica un model foarte bun. Aceste informatii sunt evidenitiate sub forma de suprafete si curbe de raspuns in figurile 10-11

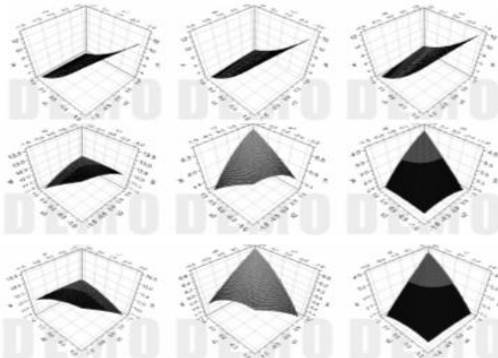


Figura 10. *Suprafetele de raspuns*

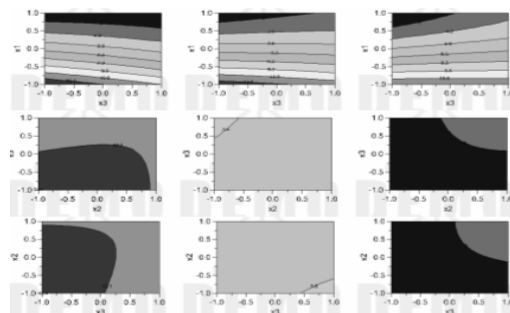


Figura 11. *Curbele de nivel*

Optimizarea procesului de coagulare-flocculare s-a efectuat cu aplicatia MODDE utilizand algoritmul "simplexului descendente" redat in figura 12.

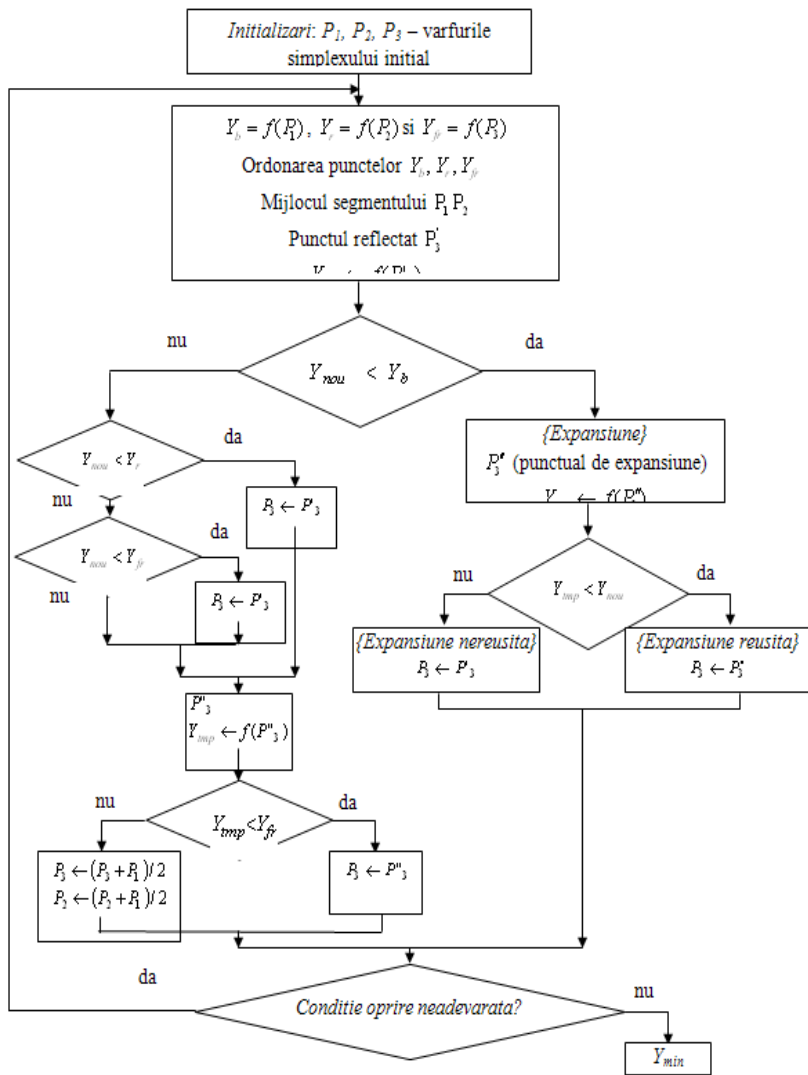


Figura 12. *Algoritmul simplexului descendente*

Rezolvarea problemei s-a facut in 3 variante care se descriu in continuare.

1.Optimizare fara valori de pornire cand acestea se genereaza implicit de catre aplicatia MODDE. Rezultatele obtinute se prezinta in tabelul 14

Tabel 14. *Optimizarea fara valori de pornire*

	x1	x2	x3	ye	iter	log(D)
1	0.9883	1	-1	1.7675	212	0.2529
2	1	-1	0.0736	2.0725	221	0.4558
3	0.942	0.9999		-1 1.8962	217	0.3444
4	1	-0.0395		-1 2.152	178	0.5017
5	1	0.4256		-1 2.0214	197	0.4249
6	0.9715	1	-1	1.8136	205	0.2868
7	0.9715	1	-1	1.8136	205	0.2868
8	1	0.4256		-1 2.0214	197	0.4249

In aceste conditii, minimul s-a obtinut dupa 212 iteratii. Valoarea optima este de $ye_1=1,7675$ iar valorile optime ale variabilelor de decizie sunt: $x_1=11.25\text{mg/L}$, $x_2=0.5\text{mg/L}$ si $x_3=0.10\text{mg/L}$ coresponzatoare valorilor codificate de 0,9883; 1 si, respectiv, -1.

2.Optimizare cu generarea automata a valorilor de pornire (la comanda de generare). Rezultatele obtinute sunt prezentate in tabelul 15.

	x1	x2	x3	ye	iter	log(D)
1	0.7147	-1	1	2.5843	140	0.7161
2	0.9999	-1	1	1.9065	263	0.3513
3	0.7149	1	-1	2.603	132	0.7243
4	1	-1	-0.8581	2.136	151	0.4927
5	1	-1	0.3443	2.0346	158	0.433
6	0.9999	-1	1	1.9065	263	0.3513
7	1	1	-1	1.7357	170	0.2288
8	1	-1	1	1.9063	163	0.3511

Minimul pentru $ye_2=1,7357$ s-a obtinut dupa 170 de iteratii. Valorile optime ale variabilelor de decizie sunt: $x_1=12.5\text{mg/L}$, $x_2=0.5\text{mg/L}$ si $x_3=0.10\text{mg/L}$ coresponzatoare valorilor codificate 1, 1 si -1. se constata avantajele unei optimizari mai eficiente (mai putine iteratii), si minimul usor diferit (mai mic decat precedentul).

3.Optimizare cu generarea valorilor de pornire dintr cele selectate

Tabel 16.*Optimizare cu generarea valorilor de pornire*

	1	2	3	4	5	6
	x1	x2	x3	ye	iter	log(D)
1	1	1	-1	1.7357	149	0.2288
2	1	1	-1	1.7357	168	0.2288
3	1	0.9	-1	1.7953	157	0.2735
4	1	1	-1	1.7357	202	0.2288
5	1	1	-1	1.7357	170	0.2288

Din tabelul 16, se observa o imbunatatire a eficientei procesului de optimizare: numarul iteratiilor a scazut la 149. Rezultatele obtinute in urma optimizarii procesului de coagulare floculare a apei din sursa Prut sunt:

$$-y_{\min} = 1,7357;$$

-valorile variabilelor de decizie (pentru care se obtine minimul) sunt: $x_1 = 12.5 \text{ mg/L}$, $x_2 = 0.5 \text{ mg/L}$ si $x_3 = 0.10 \text{ mg/L}$ corespunzatoare valorilor codificate 1, 1 si -1.

In final, s-a efectuat verificarea experimentala a optimului gasit. Pentru aceasta, s-au fixat variabilele de decizie la valorile obtinute. In urma experimentului, valoarea masurata pentru y_e a fost de: 1.81°NTU ceea ce confirma optimul estimat. Din studiile de optimizare a ecuatiei ce descrie procesul de coagulare /floculare/preoxidare a apei din sursa Prut rezulta ca pentru a realiza o turbiditate a apei la 1.7357 NTU trebuie folosite urmatoarele valori pentru variabilele de decizie :

- agent coagulant – clorura ferica- 12.5 mg/L
- agent floculant – poli acrilamida – 0.5 mg/L
- agent preoxidant – dioxid de clor – 0.1 mg/L

Cu aceste valori s-a realizat experimentarea practica, obtinandu-se pentru turbiditate valoarea de 1.81 NTU .

Aceasta valoare a confirmat modelul si valorile obtinute in urma optimizarii ecuatiei ce descrie modelul adoptat[137].

3.4.2 Modelarea neuronala a procesului de coagulare- floculare a apei din sursa Prut

Unul dintre obiectivele principale ale tratarii apei potabile il constituie determinarea dozei optime de agent de coagulare.

Intrucat in modelarea statistica s-a fixat o valoare medie pentru turbiditatea initiala pentru care s-au determinat toti parametrii procesului, iar turbiditatea apei brute variaza in limite foarte largi, s-a realizat o modelare neuronala directa si inversa pentru a stabili corelatia dintre cantitatea de agent de coagulare si valoarea variabila a turbiditatii.

Modelarea neuronala directa a avut drept scop studiul influentelor agentilor de coagulare, floculare si preoxidare asupra turbiditatii apei tratate.

Modelul neuronal determinat a fost folosit la obtinerea curbelor de simulare in interiorul si exteriorul domeniului investigat experimental.

Modelarea neuronala inversa s-a efectuat pentru valori impuse ale turbiditatii la intrarea si iesirea apei tratate, cand modelul neuronal obtinut a furnizat concentratia necesara pentru agentul de coagulare, in interiorul, dar si in exteriorul, domeniului investigat experimental[138,139].

Modelarea neuronală directă a utilizat datele experimentale din tabelul 16. S-a modelat turbiditatea apei la ieșire funcție de condițiile de operare. Datele experimentale au fost utilizate astăzi cum se recomanda în literatura de specialitate: 70% pentru antrenarea RNA și restul de 30% pentru validare.

Tabel 16. *Datele experimentale pentru modelarea neuronală directă*

<i>Turbiditatea la intrare °NTU</i>	<i>Cantitate agent coagulant mg/L</i>	<i>Cantitate agent flocajant mg/L</i>	<i>Cantitate agent preoxidant mg/L</i>	<i>Turbiditatea la ieșire °NTU</i>
30	5,3	0,3	0,2	2,1
50	6,25	0,3	0,2	2
60	8,75	0,3	0,2	2,1
77	2,5	0,2	0,1	13,5
77	12,5	0,2	0,1	2,25
77	2,5	0,5	0,1	11,85
77	12,5	0,5	0,1	1,96
77	2,5	0,2	0,3	10,61
77	12,5	0,2	0,3	2,05
77	2,5	0,5	0,3	11,72
77	12,5	0,5	0,3	3,88
77	0,79	0,35	0,2	18
77	14,25	0,35	0,2	1,41
77	7,5	0,095	0,2	5,37
77	7,5	0,69	0,2	5,99
77	7,5	0,3	0,064	6,11
77	7,5	0,3	0,463	6,09
77	7,5	0,3	0,2	6,12
90	12,8	0,3	0,2	2,3
110	14	0,3	0,2	2,15
120	14,5	0,3	0,2	2
150	14,8	0,356	0,25	2,18
160	15	0,35	0,2	2,2
180	16,5	0,35	0,25	2
200	17	0,3	0,25	2,05

Tabelul 17 conține diferite topologii ale retelelor neuronale de tip feed-forward și performanțele acestora în etapa de antrenare.

Tabel 17 *Performantele unor topologii testate pentru RNA de tip MLP*

<i>Performanta</i>	<i>MLP(4:3:1)</i>	<i>MLP(4:6:1)</i>	<i>MLP(4:8:1)</i>	<i>MLP(4:12:1)</i>
<i>Eroarea medie patratica, MSE</i>	0,545815	0,461812	0,543599	0,021997
<i>Eroarea medie absoluta, MAE</i>	0,492192	0,508398	0,630464	0,104814
<i>Coefficientul de corelatie liniara, r</i>	0,987459	0,989483	0,993539	0,999499

Pe baza rezultatelor prezentate in tabelul 17 s-a constatat ca este un model relativ simplu si care are bune performante la antrenarea retelei neuronala tip MLP care are un strat ascuns cu 12 neuroni si performante bune la antrenare. Modelul ales este redat prin codul *MLP(4:12:1)*.

Modelarea neuronală directă a furnizat rețeaua care redă dependentele dintre datele experimentale care definesc sistemul investigat. Testarea modelului neuronal *MLP(4:12:1)* s-a efectuat pe 8 date experimentale noi, nefolosite la antrenare. Rezultate obținute sunt prezentate în tabelul 18 și diagrama din figura 12[141].

Tabel 18. *Performantele MLP(4:12:1) in etapa de validare*

<i>Performanta</i>	<i>MLP(4:12:1)</i>
<i>Eroarea medie patratica, MSE</i>	0,021997
<i>Eroarea medie absoluta, MAE</i>	0,104814
<i>Coefficientul de corelatie liniara, r</i>	0,999499

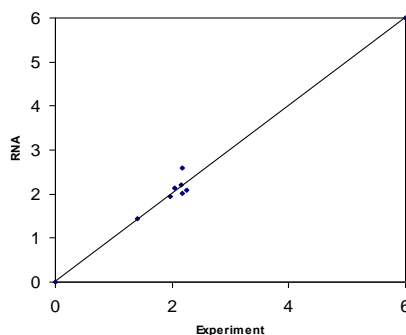


Figura 12. *Datele experimentale si predictiile MLP(4:12:1) in etapa de validare*

Rezultatele bune obtinute in etapa de validare permit utilizarea modelului neuronal MLP(4:12:1) pentru a efectua predictii corespunzatoare unor conditii de operare neexperimentate. Rezultatele obtinute se prezinta in figurile 12- 13 [143].

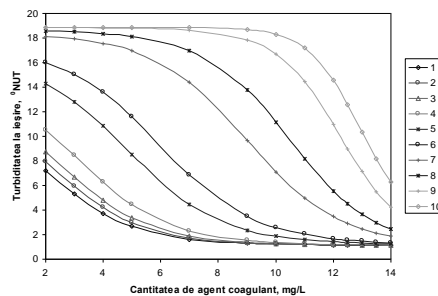


Figura 12. Turbiditatea la iesire functie de cantitatea de agent coagulant pentru cantitatea de agent floculant de $0,25 \text{ mg/L}$, cantitatea de agent preoxidant de $0,15 \text{ mg/L}$ si turbiditatea la intrare de: 1 – 20^0 NTU , 2 – 25^0 NTU , 3 – 30^0 NTU , 4 – 40^0 NTU , 5 – 60^0 NTU , 6 – 70^0 NTU , 7 – 90^0 NTU , 8 – 100^0 NTU , 9 – 120^0 NTU , 10 – 150^0 NTU .

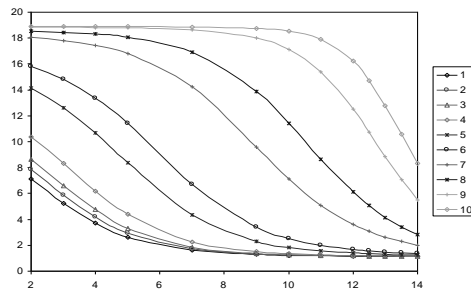


Figura 13 Turbiditatea la iesire functie de cantitatea de agent coagulant pentru cantitatea de agent floculant de $0,35 \text{ mg/L}$, cantitatea de agent peroxidant de $0,15 \text{ mg/L}$ si turbiditatea la intrare de: 1 – 20^0 NTU , 2 – 25^0 NTU , 3 – 30^0 NTU , 4 – 40^0 NTU , 5 – 60^0 NTU , 6 – 70^0 NTU , 7 – 90^0 NTU , 8 – 100^0 NTU , 9 – 120^0 NTU , 10 – 150^0 NTU .

Modelarea neuronala inversa are drept obiectiv identificarea conditiilor de operare ale procesului studiat pentru parametri finali impusi

Pentru fazele de antrenare si validare, parametrii statistici ce atesta calitatea modelului neuronal stabilit sunt prezentati in tabelul 19.

Tabel 19. Topologii testate pentru MLP si performantele obtinute la antrenare si validare

RNA	Etapa de antrenare			Etapa de validare		
	Eroarea medie patratica, MSE	Eroarea medie absoluta, MAE	Coefficientul de corelatie liniara, r	Eroarea medie patratica, MSE	Eroarea medie absoluta, MAE	Coefficientul de corelatie liniara, r
<i>MLP(2:3:1)</i>	2,782784	1,208806	0,963575	1,660797	1,11037	0,9612
<i>MLP(2:4:1)</i>	1,761854	0,900525	0,977036	3,414007	1,113361	0,924417
<i>MLP(2:5:1)</i>	1,514456	0,875231	0,980286	1,503784	0,82688	0,964904
<i>MLP(2:7:1)</i>	1,508584	0,834902	0,980302	2,071488	1,05122	0,947621
<i>MLP(2:9:1)</i>	1,474185	0,911358	0,980769	1,730995	0,933405	0,956706
<i>MLP(2:11:1)</i>	1,516718	0,912611	0,980769	1,607456	0,840533	0,960384
<i>MLP(2:12:1)</i>	1,502563	0,883991	0,98045	1,812023	0,96181	0,950977
<i>MLP(2:15:1)</i>	1,592798	0,989903	0,979984	1,941791	1,045038	0,947675
<i>MLP(2:17:1)</i>	1,800324	1,089155	0,977926	1,462428	0,773471	0,961301
<i>MLP(2:20:1)</i>	1,763041	1,024672	0,977398	1,613125	0,890726	0,958669
<i>MLP(2:25:1)</i>	1,919019	1,116761	0,976382	1,674187	0,865395	0,955606

Diagramele din figurile 14 si 15 redau buna concordanta dintre datele experimentale si datele generate cu ajutorul modelului neuronal ales.

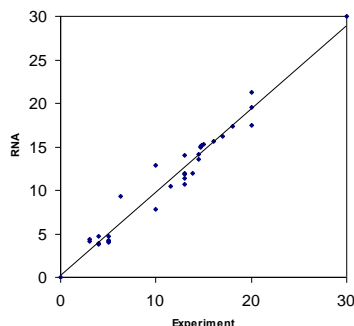


Figura 14. Datele experimentale si predictiile MLP(2:17:1) in etapa de antrenare

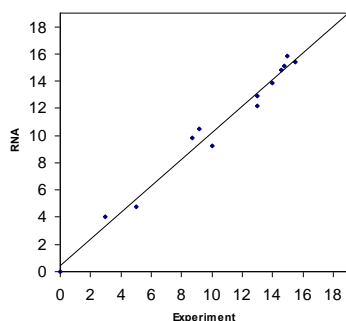


Figura 15. Datele experimentale si predictiile MLP(2:17:1) in etapa de validare

Tabel 20 *Predictii ale modelului MLP(2:17:1)*

<i>Turbiditatea la iesire, °NTU</i>	<i>Turbiditatea la intrare, ° NTU</i>	<i>Cantitatea de agent coagulant, mg/L</i>
1,95	10	7,01
2	10	6,60
2,1	10	5,82
1,9	20	8,59
2	20	7,70
2,2	20	6,11
1,9	25	9,15
2	25	8,25
2,1	25	7,39
1,7	30	11,42
2	30	8,78
2,15	30	7,51
1,95	40	10,23
2	40	9,78
2,1	40	8,91
1,6	50	14,04
2	50	10,69
2,1	50	9,83
1,9	55	11,99
2	55	11,10
2,15	55	9,86
1,7	70	14,73
2	70	12,16

Dezvoltarea modelelor neuronale s-a efectuat pe seturi de date experimentale originale, recoltate aleator din apa bruta, sursa Prut, pe o perioada de 30 de zile. Datele au fost receptionate in sistem *real time on line* cu ajutorul echipamentului de automatizare amplasat in complexul Chirita. Software-ul dedicat care se afla implementat in automatele programabile a realizat si analiza datelor recoltate in vederea prelucrarii acestora prin modelare neuronală.

Ca urmare, in cadrul modelelor neuronale, evaluarea dependentelor iesire-intrare sta la baza efectuarii de predictii pentru seturi noi de date, de simulare sau reale, date necesare in practica curenta pentru conducerea optimala a sistemului abordat in scopul cresterii sigurantei tehnologice si economice.In acest mod, utilizand si rezultatele modelarii directe, s-au obtinut date sigure ce pot fi folosite la dozarea corecta a agentului de coagulare in statia de tratare a apei Chirita.

3.5 Contributii la optimizarea procesului de evacuare a namolui produs in urma procesului de coagulare-floculare

Fluxul de tratare a apei din sursa Prut implementat in Complexul Chirita[42,156], prevede decantarea coloizilor floculati in doua decantoare de tip radial suspensional cu o capacitate de 10000 m³. Rolul acestora este de a obtine apa limpezita ce va fi supusa procesului de filtrare si de indepartarea flocoanelor produse sub forma de namol prin separarea gravitationala. Decantorul suspensional este prevazut prin constructie cu trei conducte tip basa pentru evacuarea namolului cu DN 250 mm, presiunea amestecului apa – namol in conducta de evacuare a namolului este de 0,9 bar, fluxul de lichid evacuat pe ora este de circa 130 mc³.

Rotatia completa a podului raclor se realizeaza in 60 minute. Vanele AUMA sunt deschise la intervale foarte scurte de timp (inchise 20 minute apoi deschise 3 minute si ciclurile se repeta). Functionarea vanelor inchis-deschis functie de timpul prescris conduce la pierderi mari de apa deoarece nu se tine seama de gradul de acumulare al namolului, iar la fiecare deschidere(chiar daca stratul de namol este mic) se elimina apa si odata cu ea, se pierd cantitati insemnante de reactivi de tratare chimica.

In scopul reducerii cantitatii de apa pierduta si inlaturarea efectelor secundare mentionate, s-a dezvoltat,brevetat si implementat o tehnica de eliminare a namolului rezultat, bazat pe masurarea stratului de namol dupus prin aplicarea principiului hidrolocatiei ultrasonice. In acest scop s-au efectuat in decantorul suspensional 1 din Complexul de Tratare Chirita, masuratori continue a nivelului de namol, cu o sonda de tip Sonatax SC 1000, furnizata de catre firma Hach Lange Romania[146].

Dispozitivul utilizat, Sonatax Hach-Lange, functioneaza pe principiul hidrolocatiei ultrasonice si este capabil sa masoare grosimea namolului in plan vertical[147].

Dispozitivul hidrolocator ultrasonic a fost montat pe podul raclor al decantorului, in plan vertical deasupra canalului colector de namol ce adaposteste cele trei base de evacuare a namolului. In timpul rotirii podului raclor, canalul colector este baleiat permanent cu un fascicul unidirectional ultrasonic, ce masoara permanent nivelul namolului.

In figura 16 este prezentat modul de amplasare a modulului controller si a sondei ultrasonice pe podul raclor a decantorului suspensional 1 din Complexul Chirita.

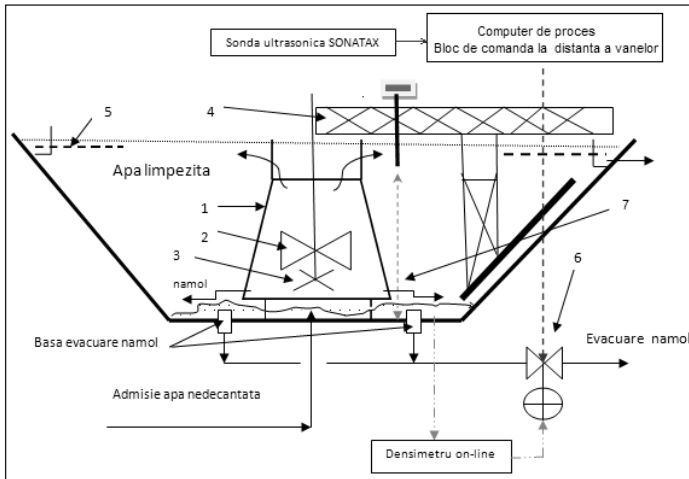


Figura 16. Schema functională a decantorului suspensional 1 din cadrul Complexului de Tratare a apei Chirita, Iasi cu scannerul ultrasonic Sonatax



Figura 17. Sonda scanner cu fascicol ultrasonic amplasata pe podul ractor al decantorului suspensional 1 din complexul Chirita

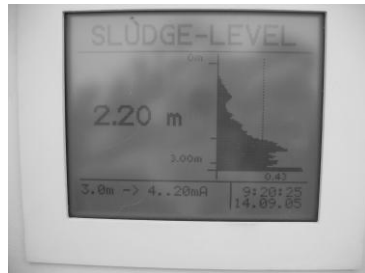


Figura 18. Profilul si inaltimea stratului de namol obtinut in urma scanarii ultrasonice a fundului decantorului suspensional 1 din Complexul Chirita

Pe perioada experimentelor s-a urmarit in prima etapa conducerea procesului realizat sub control computerizat SCADA, pe baza automatizarii asa cum a fost implementata prin retehnologizare. Datele obtinute arata ca procesul de extragere a namolului decantat se efectueaza la intervale foarte scurte de timp (la fiecare 20 minute are loc evacuarea namolului timp de 180 secunde) cu pierderi semnificative de apa. S-a observat pe baza informatiilor primite de la densimetru-on-line faptul ca densitatea namolului in acest mod de operare are valoare cuprinsa intre 0.45- 0.76 mg/L, fapt ce indica prezenta unui namol diluat, slab concentrat in substanta uscata.

Profilul ultrasonic al fundului decantorului indica un strat uniform de namol cu inaltimea ce oscileaza intre 30 si 40 cm, in canalul baselor, dar cu concentratie mica in substante uscate.

Din aceasta cauza namolul evacuat este foarte bogat in apa, fapt ce implica pierderi considerabile de apa decantata.

Diagrama trasata de echipamentul Sonatax prezinta pick-uri cu valori maxime si minime generate de deschiderea si inchiderea vanelor de evacuare a namolului. Analiza acestei diagrame duce la concluzia ca procesul de evacuare a namolului este unul de tip tranzitoriu, stratul de namol ne avand timp fizic de stabilizare. Din acest motiv pe langa namolul propriu zis se elimina cantitati relativ mari de apa din decantor.

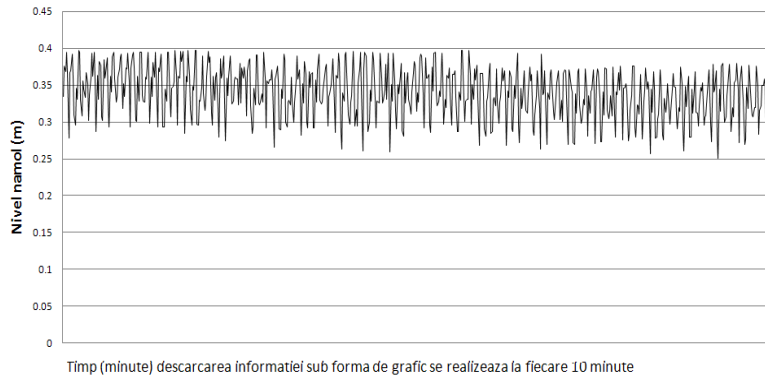


Figura 19. **Profilul ultrasonic al stratului de namol la operarea in varianta clasica**

In scopul testarii si implementarii noii tehnici de eliminare a namolului, s-a eliminat operarea decantorului suspensional aflat in regim automat sub controlul aplicatiei SCADA, procedand la controlul extractiei namolului pe baza indicatiilor oferite de sonda .

Dupa trecerea in regim de operare sub control ultrasonic, figura 20, (dupa marker) se observa tendinta de crestere a nivelului de namol in canalul de baza a decantorului.

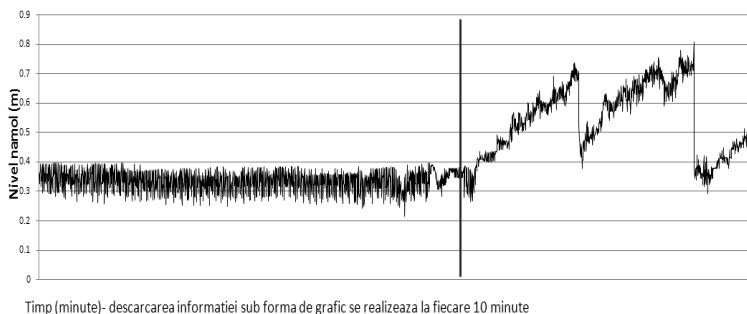


Figura 20. **Modul de eliminare a namolului: cu tehnica implementata si cea pe baza informatiilor ultrasonice**

In perioada urmatoare s-a stabilit un nou grafic de extractie a namolului din decantor adaptand functionarea utilajelor la variatiile parametrului nivel de namol.

Extractia namolului s-a realizat la un interval de patru zile, cu un timp de deschidere a baselor de 30 de minute. Intervalul de timp de patru zile a fost considerat optim, fiind suficient pentru a atinge inaltimea si densitatea necesara in vederea limitarii maxime pierderilor de apa.

Peste intervalul de patru zile, in sezonul calduros, exista riscul aparitiei fenomenului de fermentatie anaeroba a namolului aflat pe canalul de basa, avand ca efect degajarea de gaze (hidrogen sulfurat, metan) si produsi de metabolismi toxicii.

Prezinta acestora in apa prezinta riscul deprecierii calitatii apei potabile si suprasolicitarii filtrelor cu carbon activ granular.



Figura 21 Secventa optima de extractie a namolului pe baza informatiilor furnizate de scannerul ultrasonic Sonatax

In figura 21 se observa secventa de extractie a namolului, considerata optima in urma experimentelor, astfel dupa un interval de patru zile se realizeaza o deschidere simultana a celor trei base de fund pentru o perioada de 30 minute.

Rezultatele optimizarii acestui proces sunt cuantificate in tabelul 8.

Problema pe care o rezolva tehnica nou implementata[146],consta in reducerea pierderilor de apa si utilizarea mai eficienta a reactivilor de tratare.

Reducerea timpilor de functionare a echipamentelor de evacuare a namolului (vane mecano-electrice AUMA, densimetrele on-line), cu efect imediat in reducerea consumului de energie si marirea timpui de viata a acestora. Reducerea turatiei turboagitatorului si a mixerului floculator, prin intermediul convertorului de frecventa, (de la 8 Hz la 4.2 Hz) pana la valoarea optima de mentinere ferma a flocoanelor formate in conul suspensional

Tabel 21 *Avantajele folosirii dispozitivului ultrasonic Sonatax*

	Cauza	Efectul utilizarii dispozitivului Sonatax	Avantajele utilizarii dipozitivului Sonatax
1	Cresterea nivelului de namol inainte de extractie	Extragerea namolului cu o periodicitate mai scurta	Reducerea timpului de functionare a vanelor mecano-electrice de extractie namol Adaptarea la debite variabile de intrare
	Uniformizarea nivelului de namol inainte de extractie	Extractia unui namol cu o concentratie mai mare de substanta solida si continut mai scuzat de apa	Scaderea pierderilor de apa extraisa odata cu namol Namolul extras nu mai contine clorura ferica si hidroxid feric in exces, ce afecteaza negativ procesele din statia de epurare unde este deversat

Efectul imediat s-a observat in reducerea consumului de energie si obtinerea de flocoane de mari dimensiuni ce decanteaza rapid.

De asemenea trebuie mentionat faptul ca solutia propusa este aplicabila la orice valoare a turbiditatii, dechiderea vanelor depinzand de inaltimea stratului de namol, asigurandu-se astfel calitate reproductibila pentru apa indiferent de gradul de incarcare a apei brute.

Tabel 22. *Modul de operare curent implementat si modul de operare cu dispozitivul Sonatax*

Operare automata	Operare experimentală cu dispozitivul Sonatax
Deschiderea vanelor la fiecare 20 minute Timp functionare vane: 180 secunde	Deschiderea vanelor la 3-4 zile Timp functionare vane AUMA: 30 minute Reducerea pierderilor de apa masurata cu debitmetre este de 10.000 m ³ /luna

Analizand avantajele si economiile realizate, se constata ca este benefica utilizarea sistemului de masurare online a nivelului de namol tip Hach Lange Sonatax.

4.1 Cercetari experimentale privind eficacitatea utilizarii carbunelui activ in procesul tratarii apei din sursa Prut

Poluarea accidentalala a surselor de apa cu produsi petrolieri , pesticide si alti poluantri chimici precum si deprecierea apei ca urmare a procesului de eutofizare nu pot fi corectate prin metoda clasica de tratare, adica floculare – decantare – filtrare pe nisip de cuart. Introducerea carbunelui activat in tehnologia de tratare a apei potabile are ca rezultat reducerea considerabila a substantelor organice, adorsorbta substantelor petroliere poluantri, retinerea substantelor cu caracter pesticid, a mirosurilor si a colorii generate de algele aflate in putrefactie.

Studiul efectuat privind procesul de tratare a apei din sursa Prut ce are implementata tehnologia de filtrare prin carbune activat granular si carbune activ pulbere evidentiaza faptul ca se poate obtine o apa potabila cu parametrii organoleptici superioiri lipsita de elemente poluantri[151]. Datorita caracteristicilor specifice a sursei de apa Prut s-a studiat procesul de tratare cu pudra de carbune activat si procesul de filtrare prin filtre rapide cu carbune activat granular.

Pentru tratarea cu pudra de carbune activ s-a utilizat o pudra PAC (powder active charbon) cu spectrul granulometric 0.2 – 0.3 mm provenita din cocs petrolier.

Scopul acestei trepte de tratare este de a retine integral poluantii chimici (pesticide, produsi petrolieri pelicule de suprafata cu produsi uleiosi) ce pot aparea in apa din sursa Prut.Tehnologic solutia de pudra PAC se injecteaza in tancul de reactie inaintea treptei de decantare[148].

Solutia de PAC formeaza cu poluantii flocoane ce vor fi retinute integral in decantoarele suspensionale. Sistemul are o functionalitate discontinua fiind activat doar la detectia poluantilor in sursa de apa.

Instalatia are eficacitatea mare in procesul de reducere si indepartare totala a mirosurilor provocat de fenomenul de eutrofizare cauzat de conditiile meteo a apei din sursa Prut.

In figura 22 este prezentat dispozitivul de preparare si dozare a solutiei de pudra de carbune activ de tip Alldos implementat in Complexul de tratare a apei Chirita[42].

Pentru tratare cu carbune activ granular s-a folosit carbune cu spectrul granulometric cuprins 0.55 -2.0 mm dispus in filtre rapide de tip deschis cu functionare continua, urmarindu-se realizarea corectiilor finale organoleptice (culoare, mirosl, gust), si de a retine total eventualii compusi care nu au fost indepartati.



Figura 22. Dispozitivul Alldos pentru prepararea si dozarea solutiei de pudra de carbune activ din cadrul Complexului de tratare a apei Chirita Iasi

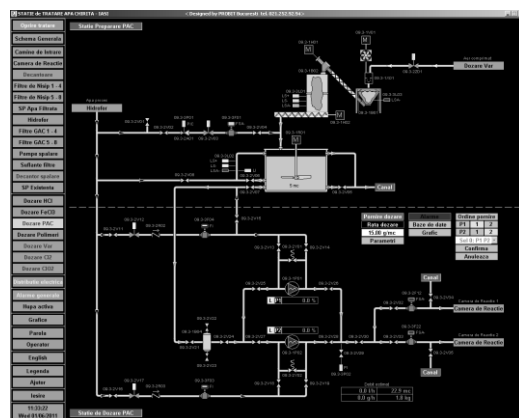


Figura 23 *Interfata de comunicare computer-operator a dispozitivului de dozare a solutiei de pudra de carbune activ*

Determinările experimentale a eficacității filtrării apei prin carbune activat granular și adsorbției pe pudra de carbune activat, s-au urmat prin determinarea continutului de substanțe organice pe treptele de tratare, a turbidității apei brute și a caracteristicilor organoleptice a apei tratate adică miros, culoare, gust[151].

Experimentarile au fost realizat in urmatoarele conditii: turbiditatea initiala a apei in punctele de alimentare a fost de 35 ° NTU, agent de coagulare: FeCl_3 de concentratie 0.45 mg Fe^{+3}/L , agent preoxidant: ClO_2 de concentratie 2.5% in doze de 0.25mg/L. Studiul experimental privind reducerea concertratiei substancelor organice s-a realizat prin comparatie

intre concentratia substantei organice in apa bruta si concentratiile substantei organice dupa decantare, treapta de filtrare prin nisip cuartos si filtrare prin carbune granular activat. Rezultatele obtinute privind gradul de reducere al substantei organice din apa pe trepte de tratare este evidentiat in diagramele din figurile 24-26.

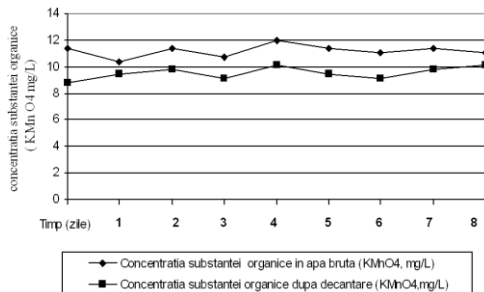


Figura 24. Reducerea continutului de substante organice dupa treapta de decantare

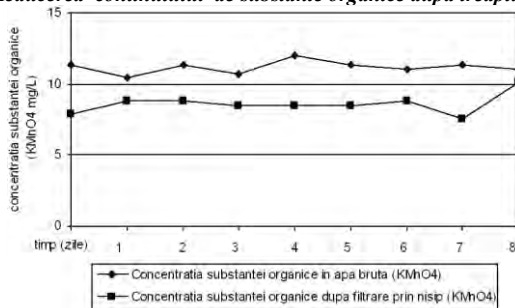


Figura 25. Reducerea continutului de substante organice dupa filtrarea prin nisip cuartos

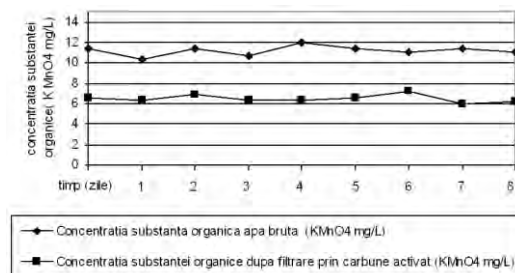


Figura 26. Reducerea continutului de substante organice dupa filtrarea prin carbune activ granular

Analizand datele prezentate in figurile 24-26 se constata ca in treapta de decantare sunt indepartate substantele organice aflate in apa sub forma de suspensii, geluri, pelicule , astfel incat in apa rezultata dupa decantare, continutul de substanta organica este de 9 – 10 mg/L.

Scaderea concentratiei substantelor organice are loc pana la valori de 8 – 8.2 mg/L in timp ce la filtrarea prinfiltrele cu carbune activ granular, scaderea are loc pana la valori de 5.5-6mg/L.

Studiul pentru determinarea concentratiei optime a solutiei de pudra de carbune activat (PAC) de tip TH 90, s-a realizat cu sistemul de preparare si dozare automata model ALLDOS dispus in Complexul Chirita (figura22)[156]. Apa bruta in acest studiu a suferit un proces de eutrofizare, provocat de conditiile meteo, prezintand un mirost de intensitate 3.0 (pe scara de la 0 – 5). Doza optima de pudra PAC a fost stabilita experimental la 15 mg/L, valoare la care s-a detectat mirost de nivel 0.5 grade. Rezultatele experimentale privind stabilirea dozei optime de carbune activ pulbere, PAC, sunt prezentate in figura 27 din care rezulta ca doza optima este de 15 mg/L, valoarea la care s-a detectat un mirost de nivel 0.5 grade .

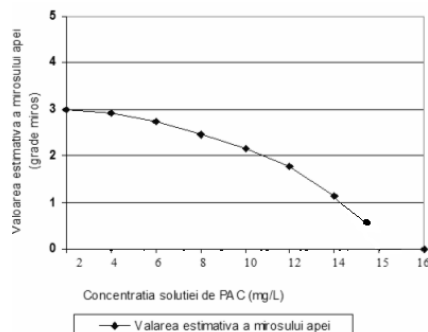


Figura 27. *Gradul de reducere a mirostului apelui in urma tratarii cu pudra de carbune activ*

Studiul efectului de reducere a tentelor de culoare s-a realizat prin filtrarea apei prin nisip cuartos si prin carbune granular activat, compararea rezultatelor obtinute pentru valorile monitorizate zilnic pentru culoare, aceste date au fost prelucrate sub forma de valori medii lunare si prezentate in graficul din figura 28.

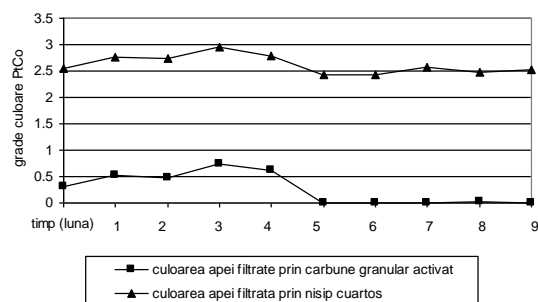


Figura 28. *Eficacitatea filtrarii prin carbune activat granular la reducerea valorii parametrului culoare*

4.2 Concluzii obtinute in urma studiului experimental al eficacitatii filtrarii apei din sursa Prut prin carbune activ

Rezultatele studiului experimental efectuat asupra calitatii apei potabile in urma filtrarii cu carbune activat, conduc la urmatoarele concluzii :

Eficiența crescută a gradului de reducere a substanței organice din apă .Randamentul de reducere a substanței organice este de circa 51.5%.

Pudra de carbune activat utilizată în procesul de tratare a apei din sursa Prut retine cu usurință gustul și mirosul rezultat în urma procesului de eutrofizare a apei la concentrații a PAC -ului mică în apă .

In cazul studiului efectuat concentrația determinată experimental a fost stabilită la 15 mg/L.

Flocoanele obținute au fost sedimentate integral în decantări suspenzionale, neafectând procesul de filtrare prin nisip quartos și carbune activat.

Culoarea apei, generată de prezența reactivului de coagulare, și a altor sareuri dizolvate în apă este redusă cu un randament de 70 – 100 % valoarea măsurată fiind între 0- 1° PtCo.

Studiul experimental efectuat asupra calitatii apei potabile, recomanda utilizarea filtrarii si tratarii apei din sursa Prut cu carbune activat.

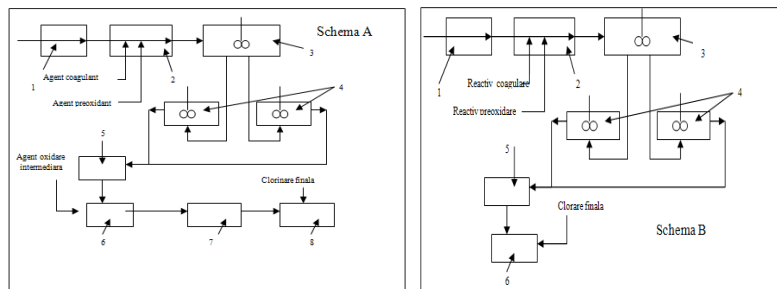
5.1 Cercetari si studii comparative a eficacitatii dezinfectantilor pe baza de clor si dioxid de clor utilizati in dezinfectia apei din sursa Prut

Reducerea sau eliminarea totală a prezentei microbiene din apă potabilă se realizează (sterilizare) cu agenți chimici puternic oxidanți sau cu agenți fizici, toți având același scop de a reduce sau să eliminate total prezența microbiană din apă potabilă.

Clorul, reactivul cel mai utilizat în procesele de dezinfecție a apelor potabile, generează din nefericire cu substanțele organice din apă trihalometani, incriminați de efect cancerigen[112]. Din aceste considerente, se tinde la înlocuirea clorului cu reactivi cu proprietăți dezinfecțante superioare ce nu generează substanțe toxice. Un astfel de reactiv este dioxidul de clor.

Studiul experimental comparativ al efectelor obținute la tratarea apei de Prut cu clor și dioxid de clor, evidențiază faptul că dioxidul de clor conduce la rezultate superioare în procesele oxidative și biocide și oferă o apă cu calitate superioară[154]. Studiul procesului de dezinfecție a fost analizat funcție de agentii utilizati clor și dioxid de clor, urmărindu-se reducerea continutului de trihalometani și a poluantilor micro biologici[152]. Schema care

ilustreaza punctele de injectie a agentilor dezinfecitanti si a fluxului parcurs este redata in figura 29. Figura 29 prezinta schemele bloc de tratare a apei din sursa Prut astfel : Schema A reprezinta tehnologia de dezinfecție utilizand dioxidul de clor in trepte de tratare si dezinfecție finala , iar schema B reprezinta tehnologia de dezinfecție utilizand numai clor gazos in procesul de preclorinare si clorinare finala



Varianta A: 1-camin intrare apa, 2-camin dozare reactivi, 3-tanc reactie, 4-decantoare, 5-filtre cu nisip, 6-rezervor apa filtrata 7-filtre cu carbune activ granular, 8-rezervor apa potabila
 Varianta B: -camin intrare, 2-camin dozare reactivi, 3- tanc reactie ,4- decantoare , 5-filtre cu nisip, 6-rezervor apa filtrata

Figura 29. *Fluxul de tratare in Complexul Chirita A-tehnologia nou implementata,B-tehnologia clasica de tratare*

Pentru testarea eficacitatii reactivilor clor si dioxid de clor in procesul de dezinfecție a apei din sursa Prut s-a determinat initial gradul de incarcare microbiana si speciile de agenti patogeni. Rezultatele sunt prezentate in tabelul 23, din care rezulta ca apa bruta are o incarcare microbiologica de 437500 exemplare/litru [17].

Tabel 23. *Incarcarea microbiologica a apei din sursa Prut supusa procesului de dezinfecție cu clor si dioxid de clor*

Nr.crt	Taxoni identificati		Exemplare densitate/litru
	grup	specii	
1	<i>Bacillariophyta</i>	<i>Amphora ovalis</i>	12500
2	<i>Bacillariophyta</i>	<i>Cyclotela ocellata</i>	75000
3	<i>Bacillariophyta</i>	<i>Gomphonema acuminatum</i>	37500
4	<i>Bacillariophyta</i>	<i>Gomphonema capitatum</i>	87500
5	<i>Bacillariophyta</i>	<i>Navicula lanceolata</i>	50000
6	<i>Bacillariophyta</i>	<i>Navicula lanceolata</i>	37500
7	<i>Bacillariophyta</i>	<i>Nitzschia acicularis</i>	25000
8	<i>Bacillariophyta</i>	<i>Rhoicosphaenia curvata</i>	62000
9	<i>Chlorophyta</i>	<i>Monoraphidium contortum</i>	50000
Total exemplare,densitate/litru			437500

Datele experimentale prezentate in tabelul 24 evidentaaza faptul ca prin tratarea apei cu clor gazos, pe langa reactiile oxidative si degradare a poluantilor biologici au loc reactii secundare de generare a trihalometanilor (THM) care raman in apa potabila in proportii admise de lege dar, care pot genera fenomene secundare la utilizare.

De mentionat ca utilizarea clorului ca agent dezinfectant favorizeaza aparitia de trihalometani ca rezultat al reactiei substantelor organice din apa cu clorul.

Tabel 24 *Valori a trihalometanilor(THM) obtinute in tehnologia de dezinfectie cu clor gazos in punctul de preoxidare si rezervorul de stocare apa potabila*

Indicatori toxicologici (THM)	U.M.	Complexul Chirita, apa bruta dupa treapta de preclorinare	Complexul Chirita Rezervor apa potabila dupa dezinfectia finala	STAS 1342/1991	Normativ CEE
THM	µgCl/L	11	27.08		
Chloroform	µg/l	11	27	Max 30µg/L	3 – 30
Brom-diclor-metan	µg/l	4.17	11.31		
Dibromclor-clor-metan	µg/l	1.02	3.74	THM total Max 100µg/L	
Bromoform	µg/l	0.05	0.20		
Diclormetan	µg/l	0. 05	<0.03		
Tetraclormetan	µg/l	0.3	< 0.05		
1,1 diclor etan	µg/l	< 0.05	< 0.05		
1,2 diclor-etan	µg/l	< 0.05	< 0.05		
1,1,1 triclor – etan	µg/l	< 0.05	< 0.05		
1,1,2 triclor – etan	µg/l	< 0.05	< 0.05		
1,1,2 triclor - etan	µg/l	< 0.05	< 0.05		
Tricolor- etena	µg/l	< 0.05	< 0.05		3 – 30
Tetraclor-etenă	µg/l	< 0.05	0.08	0.06	1 - 10

Datele experimentale prezentate in tabelul 24 evidentaaza faptul ca prin tratarea apei cu clor gazos, pe langa reactiile oxidative si degradare a poluantilor biologici au loc reactii secundare de generare a trihalometanilor (THM) care raman in apa potabila in proportii admise de lege dar, care pot genera fenomene secundare la utilizare.

Studiile au continuat cu analiza performantelor obtinute in procesul de dezinfectie cu dioxid de clor .Dioxidul de clor, datorita proprietatilor de instabilitate, se produce local, intr-un dipozitiv ALLDOS Oxiperm [107] in urma reactiei dintre cloritul de sodiu si un amestec de clor si apa.

Tabel 25. Valori a trihalometanilor (THM) obtinute in tehnologia de dezinfecție cu dioxid de clor in punctul de preoxidare si oxidare intermediara in rezervorul de stocare apa filtrata

Nr.crt	Indicatori toxicologici	U.M.	Valori obtinute	Legea 458/2002	
				CMA	Metoda utilizata
1	Chloroform	µg/l	absent	-	EN ISO 10301/1997
2	bromdiclormetan	µg/l	absent	-	
3	clordibrommetan	µg/l	absent	-	
4	bromoform	µg/l	absent	-	
5	Total trihalometani	µg/l	absent	0.00	

CMA- concentratia maxima admisibila in conformitate cu legea 458/2002

Din analiza rezultatelor obtinute, prezентate in tabelul 25, nu s-a evidențiat prezenta trihalometanilor in treptele de tratare, fapt explicabil tinand seama ca dioxidul de clor nu genereaza trihalometani cu substantele organice din apa.

De asemenea dioxidul de clor reprezinta un excelent agent de sterilizare biologica astfel incat la analiza apei tratate nu s-a evidențiat prezenta poluantilor microbiologici.

S-a determinat incarcarea microbiologica din apa dezinfecțata cu dioxid de clor in urma oxidarii intermediare si stocata in rezervorul de apa filtrata obtinandu-se valorile conform tabelului 26

Tabel 26. Incarcarea microbiologica a apei supusa procesului de dezinfecție cu dioxid de clor stocata in rezervorul de apa filtrata

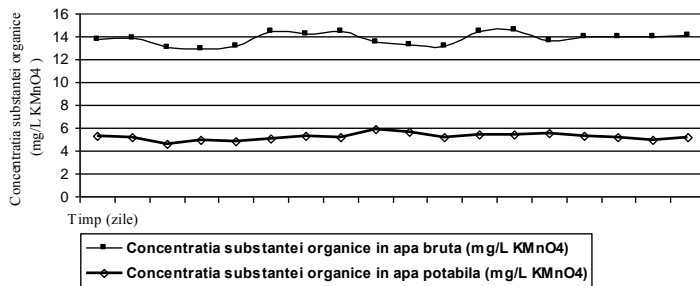
Nr.crt	Taxoni identificati		Densitate exemplare /litru	Metoda de analiza
	Grupa	Specia		
Densitate totala exemplare/litru		absent		STAS 6329-1990

Reducerea pronuntata a continutului de substanta organica dupa etapa de oxidare intermediara cu dioxid de clor ofera posibilitatea obtinerii in final a unei ape potabile de calitate In ultima etapa, apa este tratata cu clor gazos pentru asigurarea protectiei microbiologice la transport. Continutul redus de substante organice evita generarea de trihalometani in concentratii mari.

Tabel 27. Concentratia trihalometani in rezervorul de apa potabila dupa dezinfecția finala cu clor gazos

Nr.crt	Indicatori toxicologici	U.M.	Valori obtinute	Legea 458/2002	
				CMA	Metoda utilizata
1	Chloroform	µg/l	3.531	-	EN ISO 10301/1997
2	bromdiclormetan	µg/l	6.621	-	
3	clordibrommetan	µg/l	8.326	-	
4	bromoform	µg/l	2.657	-	
5	Total trihalometani	µg/l	21.135	100	

S-a determinat concentrația substăncii organice în apă bruta din sursa Prut și din apă potabilă, din rezervorul de stocare în scopul urmării gradului de reducere a acesteia în urma procesului de oxidare intermediară cu dioxid de clor. S-au obținut curbele de variație din figura 30.



- este mai putin coroziv decat clorul .
- proprietatile biodistructive nu sunt influentate de temperatura si pH
- este capabil sa reduca fierul si manganul din apa.

Studiul efectuat asupra celor doi reactivi de dezinfecție clor și dioxid de clor recomandă utilizarea celui din urmă în procesul de tratare a apei din sursa Prut

6.1 Studiul performantelor dispozitivului multi-treapta „Aquarius-01” in procesul de potabilizare a apei, pentru aplicatii casnice si situatii de urgența

Dispozitivul AQUARIUS-01 a fost conceput și realizat de autori[155] în scopul filtrării apei utilizate în gospodării casnice, potabilizarea apei în situații de urgență, pentru corecții organoleptice (miros, culoare), de îmbunătățire a calității apei prelucrate și de îndepărțare a nitrilor, nitratilor din sursele locale de apă potabilă inclusiv din sursele freatică (fântânile din zona rurală). Dispozitivul prezentat în figura 31 funcționează în regim de alimentare prin sistem cascada, având conectate în serie săse unități funcționale, după cum urmează:

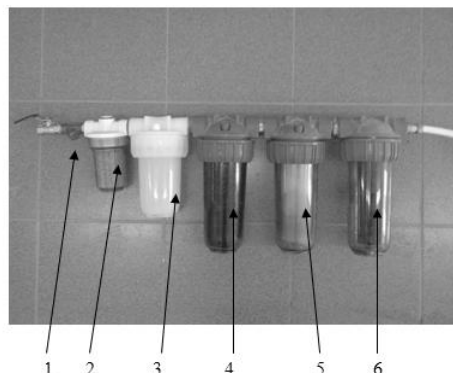


Figura 31. *Dispozitiv filtrant multistep model AQUARIUS- 01*

Separator mecanic tip Y cu sită de bronz, cu $\Phi_{\text{sila}} 0.2\text{mm}$, pentru retinerea corpurilor de dimensiuni mari,2.Filtru cu nisip quartos cu spectru granulometric de 0.2 – 0.5 mm, pentru retinerea corpurilor de dimensiuni mici și reducerea turbiditatii,3.Filtru celulozic multistrat, pentru reducerea avansată a turbiditatii, 4.Filtru cu carbune activat granular tip TH 90 cu spectru granulometric de 0.4 – 0.6 mm, pentru retinerea poluanților chimici, corecții organoleptice, reducerea turbiditatii și a cantitatii de substante organice dizolvate in apa,5.Schimbator de ioni de tipul Seachem Purigen pentru reducerea avansata a cantitatilor de ioni nitrat și nitrit din

apa,6.Filtru compact din pudra de carbune activat impregnat cu argint ionic, pentru corectii organoleptice, reducerea turbiditatii apei, indepartarea urmelor de poluantri chimici.

Testele efectuate au avut ca scop stabilirea performantelor oferite de dispozitiv in tratarea apei fara a fi nevoie de coagulare chimica, urmarindu-se: reducerea turbiditatii, reducerea continutului de substante organice dizolvate in apa, reducerea sau indepartarea dupa caz a continutului de nitrati si nitriti din apa, imbunatatirea proprietatilor organoleptice prin reducerea valorilor parametrilor mirosi, gust si culoare.

Performantele blocului filtrant s-au determinat in doua situatii diferite:

1- In prima situatie s-a trecut prin aparatul filtrant AQUARIUS-01 un volum mare de apa bruta (cca 250 m³), cu scopul de a stabili durata de functionare a cartusului (3) reducerator de turbiditate si a cartusului(4) reducerator a cantitatilor de substante organice. In continuare s-au determinat performantele obtinute cu dispozitivul filtrant AQUARIUS-01 in filtrarea apei provenite din lacul Chirita Iasi.

2- In a doua situatie prin sistemul AQUARIUS-01 au fost trecute volume constante de apa (1m³) in care au fost dizolvate cantitati progresive de de NaNO₃ si NaNO₂, in scopul studierii capacitatii de retinere a ionilor NO₂⁻ si NO₃⁻ pe cartus cu schimbatori de ioni (5).

Rezultatele obtinute sunt prezentate in tabelul 28

Tabel 28. *Capacitatea de reducere a turbiditatii apei la trecerea prin filtrul cu fibra cord si filtrul celulozic multistrat la volum egal de apa.*

Volum apa prelucrat (m ³)	10	50	100	150	200
Turbiditatea dupa trecerea prin filtru multistrat cu fibra cord (NTU)	0.45	0.48	0.58	0.76	1.74
Turbiditatea dupa trecerea prin filtru multistrat celulozic (NTU)	0.33	0.37	0.45	0.50	0.62

Datele experimentale din tabelul 28 evidențiază faptul că filtrul celulozic multistrat realizează o reducere a turbiditatii superioare celui cu bobinaj cu fibra cord, ceea ce conferă o calitate superioară apei.

In continuare s-au analizat performantele oferite de dispozitivul AQUARIUS – 01 in procesul de potabilizare a apei brute provenite din sursa Chirita Iasi.

In toate cazurile s-au folosit debite de apa cuprinse intre 10–200 m³ si s-a urmarit reducerea turbiditatii, continutului de substanta organica, reducerea miroslui si a culorii apei brute.

Intre blocurile functionale au fost montati robineti de prelevare pentru determinarea parametrilor urmariti, iar rezultatele sunt prezentate in figura 32.

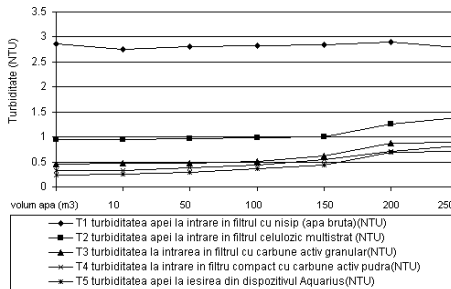


Figura 32. Reducerea turbiditatii la trecerea apei prin unitatile filtrante Aquarius

Reducerea continutului de substanțe organice prin filtrarea apei în dispozitivul AQUARIUS –01 este prezentată în figura 33, la trecerea apei prin filtrele cu carbune granular activat are loc o reducere cu 45-56% a concentrației substanțelor organice.

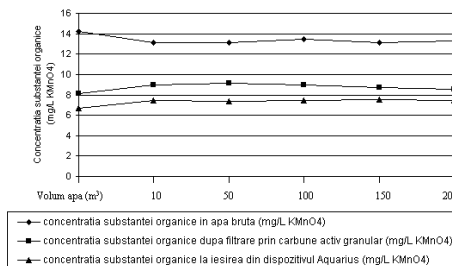


Figura 33. Reducerea continutului de substanțe organice din apă bruta la trecerea prin sistemul filtrant Aquarius

Capacitatea de corecție organoleptica a apei brute la trecerea prin dispozitivul AQUARIUS –01 a fost studiată prin determinarea parametrilor miros și culoare, în condițiile de filtrare a apei brute provenita din lacul Chirita. Corecția parametrului miros este reprezentată figura 34. Valoarea medie a acestui parametru pentru apă bruta a fost de 1.2 – 1.3, pe o scară de 0 – 5, valoarea ce scade după filtrare până la 0.3 (practic imperceptibil).

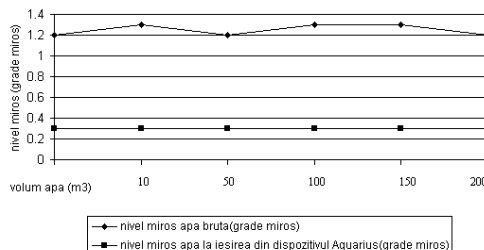


Figura 34. Atenuarea mirosului apei brute la trecerea prin dispozitivul AQUARIUS

Eficacitatea de corectie a culorii se evidențiază în figura 34

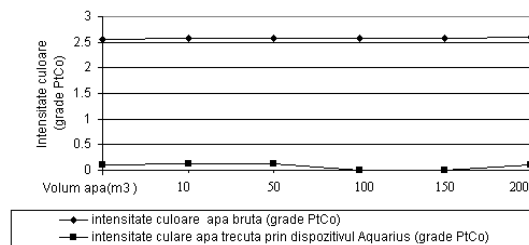


Figura 35. Reducerea valorii parametrului culoare la trecerea apei prin dispozitivul AQUARIUS

Din analiza comparativa a datelor referitoare la calitatea apei obtinute prin filtrarea apei brute din sursa lac Chirita prin AQUARIUS –01 cu cele obtinute in Complexul de Tratare a apei pentru uz urban rezulta ca AQUARIUS –01 ofera performante comparabile.

Pentru a se obtine o apa de uz casnic de calitate superioara s-a studiat contributia adusa in acest sens de dispozitivul AQUARIUS –01 prin filtrarea apei potabile din reteaua de distributie urbana. Si in acest caz s-au filtrat debite prelevate din reteaua urbana cuprinse intre 10- 200 m³ apa potabila si s-a urmarit reducerea turbiditatii si a continutului de substante organice in fiecare filtru din compunerea dispozitivului, rezultatele raportandu-se la valorile de intrare si iesire. Valorile experimentale obtinute pentru turbiditate si continut de substante organice prin filtrarea apei potabile demonstreaza ca prin aceasta operatie are loc o reducere a turbiditatii cu 55- 60% a continutului de substante organice cu 35-50% fata de valorile din apa potabila. In continuare s-a urmarit filtrarea apei brute din sursa Chirita in care s-au dizolvat diferite cantitati de nitrat si nitrit de sodiu. Studiul s-a realizat pe un volum de un metru cub de apa in care s-au dizolvat doze de 5-160mg/L ion nitrat si 5-50 mg/L ion nitrit. Dupa fiecare determinare, cartusele filtrante cu nisip si cel cu carbune activat au fost spalate, iar filtrul cu schimbatori de ioni, pentru o mai buna acuratete a determinarilor inlocuit.

Analizand datele experimentale s-a observat ca filtrul schimbator de ioni are eficacitate de retinere a ionului nitrat ale concentratiei acestuia pana la 120 mg/L, la valori de peste 160mg/L ion nitrat dizolvat in apa, schimbatorul de ioni nu a mai functionat aparand fenomenul de blocare. Acelasi fenomen s-a produs si la retentia ionului nitrit la valori de 50mg/L. Prezinta acestor impurificatori in apa potabila este reglementata de legea 458/2002 modificata cu 311/2004 astfel: concentratia maxim admisa a ionului nitrat este de 50mg/L, iar a ionului nitrit este de 0.5 mg/L. Criteriile legii sunt pe deplin indeplinite prin filtrarea apei cu dispozitivul AQUARIUS – 01.

In continuare s-a utilizat dispozitivul AQUARIUS- 01 pentru filtrarea apei provenita din puturi de adancime (fantani) construite in zona municipiului Iasi.

Dispozitivul filtrant a fost conectat pe conducta de refulare a hidroforului ce asigura presiunea de serviciu de 1.2 bar. Au fost filtrate cca 100-120L de apa pentru fiecare test. S-au prelevat probe de apa la intrarea si la iesirea din filtru, iar datele obtinute au fost centralizate in tabelul 29

Tabel 29. Performantele dispozitivului AQUARIUS- 01 la filtrarea apei din puturi de adancime din zona municipiului Iasi

Turbiditate (NTU)		Concentratie substante organice (mg/L KMnO ₄)		Concentratie ioni amoniu (mg/L)		Concentratie ioni nitrat (mg/L)		Concentratie ioni nitriti (mg/L)	
intrare	iesire	intrare	iesire	intrare	iesire	intrare	iesire	intrare	iesire
sursa de apa: fantana cu hidrofor zona Galata									
1.9	0.25	18.96	10.45	0.075	0.00	4.76	0.00	0.016	0.00
sursa de apa: fantana cu hidrofor comuna Comarna									
0.63	0.22	5.32	0.152	0.00	0.00	103.0	0.362	0.089	0.00
sursa de apa: fantana cu hidrofor zona Bucium, Pietrarie									
0.85	0.36	17.68	9.66	0.073	0.00	7.07	0.00	0.014	0.00
sursa de apa: fantana cu hidrofor zona Bucium, Plopii fara Sot									
0.65	0.29	14.22	6.66	0.256	0.00	5.62	0.00	0.025	0.00
sursa de apa: fantana cu hidrofor zona Rediu									
2.0	0.28	15.11	6.27	0.55	0.01	6.5	0.00	0.045	0.00
sursa de apa: fantana cu hidrofor zona Miroslava, ferma pomicola									
0.96	0.28	10.43	5.89	0.35	0.00	85.12	0.179	0.008	0.00
sursa de apa: fantana cu hidrofor zona Miroslava sat									
0.74	0.32	9.56	5.16	0.44	0.001	0.74	0.012	0.057	0.00
sursa de apa: fantana cu hidrofor zona Dancu									
0.65	0.29	117.71	6.58	0.37	0.00	96.24	0.184	0.00	0.00

6.2 Concluzii obtinute in urma testarii dispozitivului Aquarius

Studiind performantele ansamblului filtrant Aquarius 01 putem concluderii ca dispozitivul este recomandat pentru prelucrarea apei in gospodarii casnice individuale, ce au ca sursa de apa bruta apa din panza freatica (puturi de adancime) sau ape de suprafata cu turbiditate medie in jurul valorii de 5 (cinci)^o NTU.

Capacitatatile avansate de retentie a ionului nitrat/nitrit recomanda utilizarea filtrului Aquarius 01 in prelucrarea surselor de apa de adancime, mai ales in zonele unde exista riscul de contaminare cu materii reziduale organice a panzei freactice, stiindu-se faptul ca ionul nitrit este un toxic periculos pentru copii pana in cinci ani.

Dispozitivul Aquarius este recomandat a fi utilizat si in localitatatile in care sursele de alimentare cu apa potabila in sistem centralizat nu ating standardul de calitate impus de legislatia in vigoare.

Rezultatele testelor pe apa potabila furnizata de complexul Chirita, care se incadreaza in parametrii de calitate impusi de actuala legislatie, ne arata ca putem ridica calitatea apei

furnizate, prin montarea dispozitivului filtrant Aquarius 01 direct la beneficiar, inainte de punctele de consum.

Concluzii finale

Cercetarile realizate si rezultatele obtinute in cadrul prezentei teze au condus la urmatoarele concluzii :

1. Multitudinea si frecventa publicatiilor legate de tehnologia de tratare a apei evidențiază faptul că acest subiect este de actualitate, prezentând interes în randurile comunităților tehnico-scientifice din întreaga lume.
2. Datele de literatură consultate fac referire la aspectele generale a apei, la metodele, tehniciile și indicatorii ce caracterizează apă din punct de vedere fizic, chimic biologic, precum și impactul asupra activității umane în caz de poluare a ei.
3. În datele de literatură studiate se fac referiri la tehniciile aplicabile în obținerea apei potabile cu particularizarea la Complexul de tratare a apei Iași, ce prelucrează apă bruta din sursa Prut.
4. Studiile comparative ale fazelor de tratare chimică cu săruri trivalente pe baza de aluminiu și fier au pus în evidență superioritatea celor pe baza de fier sub forma de clorură ferică, în tehnologia de tratare a apei din sursa Prut.
5. Optimizarea procesului de coagulare-floculare cu clorură ferică drept agent coagulant utilizat în complexul de tratare a apei Chirita, a condus la stabilirea unui model matematic, din care au rezultat condiții optime de operare, după cum urmează: pentru a realiza o turbiditate a apei la 1.7357 NTU, trebuie folosite urmatoarele valori pentru variabilele de decizie: agent coagulant : clorură ferică - 12.5 mg/L, agent flocaș: poliacrilamida – 0.5mg/L, agent preoxidant : dioxid de clor – 0.1mg/L. Cu aceste valori s-a realizat experimentarea practică, obținându-se pentru turbiditate valoarea de 1.81 NTU.
6. S-a procedat la modelare neuronală pentru a determina condițiile de operare pentru orice valoare a turbiditatii apei brute, impunând valoarea turbiditatii după treapta de decantare, în situația de fata 2°NTU.
7. Pentru optimizarea procesului de evacuare a namolului produs în decantare ca urmare a procesului de coagulare floculare, s-a implementat o tehnică ce folosește un scanner ultrasonic de tip Hach-Lange, Sonatax SC-1000, ce are ca efect economii considerabile de apă pre-tratată, prelungirea timpului de viață a echipamentelor mecano-electrice, precum și îmbunătățirea proceselor de epurare din stația municipală, ca efect a reducerii concentrației de fier în namolul rezidual.
8. Studiile experimentale asupra eficacității și beneficiilor filtrării apei prin carbune activ granular, a utilizării pudrei de carbune activ au evidențiat capacitatea de reducere a valorilor parametrilor: substanța organică, turbiditate, grad de culoare, miros a apei brute și pe treptele de

tratare a apei din sursa Prut in Complexul Chirita, randamentul de reducere a substantei organice este de circa 51.5%. Culoarea apei, generata de prezenta reactivului de coagulare, si a altor saruri dizolvate in apa este redusa cu un randament de 70 – 100 % valoarea masurata fiind intre 0- 1° PtCo.

9. Studiul experimental privind dezinfectia apei provenite din sursa Prut s-a desfasurat in paralel pentru clorul gazos si dioxidul de clor, s-a urmarit eficienta celor doi agenti dezinfecțanti: conditiile specifice de operare, produsii secundari de reactie generati in urma reactiei cu substantele organice din apa, gradul de reducere a activitatii microbiologice. Studiul experimental a concluzionat ca utilizarea dioxidului de clor ca agent dezinfecțant este benefica pentru obtinerea apei potabile cu calitati superioare

10.Cercetarile experimentale realizate cu dispozitivul filtrant multi treapta AQUARIUS-01au vizat capacitatea de a reduce concentratia ionilor nitrit si nitrat din sursele de adancime(fantani)si de a mari calitatea apei potabile din reteaua publica unde situatia o impune.Experimentele au concluzionat faptul ca doza maxima de ioni nitrat ce poate fi retinuta din apa este de 120mg/L iar ioni nitriti de 50mg/L.Utilizand dispozitivul la consumatorul ce utilizeaza apa din reteaua publica se poate imbunatatii considerabil calitatea apei prin reducerea valorilor parametrilor turbiditate, culoare, gust miros.

Bibliografie selectiva

- [1] Renato R. Martino H., "Water, an essential element for life" *The Third World Water Forum*, Kyoto,Japan, 2003.
- [14] Legea 458/2002 Legea Calitatii Apei in Romania.
- [15] Legea 311/2004, Modificare si completare la legea 458/2002.
- [17] STAS 6329/1990 Determinarea calitativa si cantitativa a organismelor in apele de suprafata
- [42] ApaVital SA–Iasi, Alimentarea cu apa a municipiului Iasi, on line: www.apavital.ro,2010
- [107] Grundfos Alldos - Disinfection systems ($\text{Cl}_2 + \text{ClO}_2$) (17 Dec 2009),on line: www.grundfosalldos.com/.../2000_over_desinfektionsysteme-cl2-cl02.php
- [112] Latifoglu A., "Formation of Trihalomethanes by the Disinfection of Drinking Water", Environmental Engineering Department,Sage Journal – on line,2006.
- [134] Popovici D.,Oniscu C., "Coagulation reagents applied in treating from Prut waters", *Romanian Biotechnological Letters* , in press, 2011.
- [137] Popovici D, Oniscu C., Diaconescu R., Alina TrofinA., Bibere N., "Modeling of the Coagulation, Flocculation and Pre-oxidation processing of the Prut river water", *Romanian Biotechnological Letters*, 16, (6), p:6585, 2011.
- [138] Gagnon C., Bernard P.A. Jules Thibault, "Modelling of coagulant dosage in a water treatment plant", *Artificial Intelligence in Engineering*, 11, (4), p:401-404, 1997.
- [139] Valentin N.,Fotoohi F., Denoeux T., "Modeling of coagulant dosing in a water treatment plant". *Proc. of EANN'99*, Warsaw, p: 165-170,1999.
- [141]Bubuiaru L.F.; Diaconescu R., "Old church paintings restoration and artificial intelligence", *European Journal of Science and Theology*, p: 37-55, 2009.
- [143] O.Omidvar and J. Dayhoff, "Neural networks and Pattern Recognition ", *Academic Press*, San Diego, 5,(2), p: 37-55, 1998.
- [146]Popovici D., Oniscu C., "Procedeu de evacuare a namolului din decantoarele suspensionale de obtinere a apei potabile", cerere brevet de inventie nr.: A/00633 din 04.07.2011
- [147]Hach-Lange Romania, United for Water Quality on-line: www.hach-lange.ro,mai 2011
- [148] Koganovski ,Klimenko, Levchenko "Adsorbtia substantelor dizolvate in apa pe carbune granular activat", Kiev, *Naukova Dumca*, p: 224,1997.
- [151] Popovici D, Oniscu C., "Advantages of using active carbon in the treating technology of the Prut water", *Romanian Biotechnological Letters*, 16,(5), p: 6489,2011.
- [152] Popovici D, Oniscu C., "Disinfection reagents in Prut river treatment for drinking water production" *Environmental Engineering and Management Journal*, 9, (3),p: 435-441, 2010.
- [154] Popovici D., Oniscu C., Chirica C., "Tehnologii moderne in procesul de dezinfecție a apei tratate din sursa Prut in cadrul Complexului de tratare Chirita Iasi "*Forumul international al apei, Asociatia Romana a Apei*, Bucuresti, iunie,2011
- [155] Popovici D., Oniscu C., Trofin A., "Performance Study for the „Aquarius-01” Multi-step Device, in the process of Obtaining Drinking Water for household applications and Emergency Situations", *Buletinul Institutului Politehnic din Iasi*, Publicat de Universitatea Tehnica „Gheorghe Asachi”din Iasi,Sectia Chimie si Inginerie Chimica,Tom:LVII(LXI), fascicola:3, 2011
- [156] Popovici D.,Chirica C."Tehnologii moderne de tratarea apei in Complexul Chirita din cadrul Apavital Iasi" *EXPO-APA,Forumul international al apei, Asociatia Romana a Apei*, Bucuresti, 13-15 iunie, 2009